

Some topics of physical chemistry

Density functional theory

Termodinámica estadística

Intermolecular interactions

Bases de l'espectroscòpia

Juan C. Paniagua

jpaniagua@ub.edu

Departament de Ciència de Materials i Química Física
Institut de Química Teòrica i Computacional (IQTC-UB)

Universitat de Barcelona

November 2014 (revised in December 2019)

PDF available at <http://diposit.ub.edu/dspace/>

Original in Keynote'09 available upon request

Density functional theory (method)

November 2017 (revised in November 2019)

Bibliografia: J. C. Paniagua & P. Alemany, *Química Quàntica*, § 6.5.17

Hohenberg-Kohn theorems

One-electron density:

$$\rho(\vec{r}) = n \int_{\omega_1} \int_{\vec{r}_2} \int_{\omega_2} \dots \int_{\vec{r}_n} \int_{\omega_n} |\Psi_{el}(\vec{r}, \omega_1, \vec{r}_2, \omega_2, \dots, \vec{r}_n, \omega_n)|^2 d\omega_1 d\vec{r}_2 d\omega_2 \dots d\vec{r}_n d\omega_n$$

\swarrow
 many Ψ 's \rightarrow same ρ

$$\int_{\mathcal{R}^3} \rho(\vec{r}) d\vec{r} = n$$

1st HK theorem: $\rho_0 \longrightarrow \widehat{H}_{el} \longrightarrow$ any stationary-state electronic wf

2nd HK theorem: $E_0 = \min_{\rho} E[\rho]$ (similar to $E_0 = \min_{\psi} W[\psi] = \min_{\psi} \langle \psi | \widehat{H}_{el} | \psi \rangle$)

The energy functional

$$\widehat{H}_{el} = \widehat{T}_{el} + \widehat{V}_{el} + \widehat{V}_{nuc-el} \quad \widehat{T}_{el} = \sum_{i=1}^n -\frac{\nabla_i^2}{2} \quad \widehat{V}_{el} = \sum_{i=1}^{n-1} \sum_{j>i}^n \frac{1}{r_{ij}} \quad \widehat{V}_{nuc-el} = \sum_{i=1}^n v_{ne}(\vec{r}_i)$$

External potential (energy): $v_{ne}(\vec{r}_i) = \sum_{A=1}^N -\frac{Z_A}{r_{iA}}$ (any local, multiplicative, spin-independent operator)

$$E[\rho] = F[\rho] + V_{nuc-el}[\rho]$$

$$F[\rho] \equiv \min_{\Psi_\rho} \langle \Psi_\rho | (\widehat{T}_{el} + \widehat{V}_{el}) \Psi_\rho \rangle = T[\rho] + V_{el}[\rho]$$

a **UNIVERSAL** functional (the same for *any* n -electron system)

$$\langle V_{nuc-el} \rangle = \int_{\vec{r}} v_{ne}(\vec{r}) \rho(\vec{r}) d\vec{r}$$

straightforward to calculate

$\rho(x, y, z)$ is a **much simpler** object than $\Psi(x_1, y_1, z_1, \omega_1, \dots, x_n, y_n, z_n, \omega_n)$ (the number of variables does not increase with the size of the system)

Kohn-Sham method

$$\Phi^{KS}(\vec{w}_1, \dots, \vec{w}_n) = \frac{1}{\sqrt{n!}} |\psi_1^{KS}(\vec{w}_1) \dots \psi_n^{KS}(\vec{w}_n)| \quad \text{with } \rho^{KS} = \rho_0$$

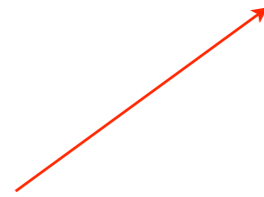
$$\psi_i^{KS}(\vec{w}) = \phi_i^{KS}(\vec{r}) g_i(\omega) \quad \widehat{h}^{KS}(\vec{r}) \phi_i^{KS}(\vec{r}) = \epsilon_i^{KS} \phi_i^{KS}(\vec{r})$$

$$\widehat{h}^{KS}(\vec{r}) = -\frac{\nabla^2}{2} + v_{ne}(\vec{r}) + v_{re}^{KS}(\rho_0, \vec{r}) + v_{xc}(\rho_0, \vec{r}) \quad \text{SCF}$$

$$E[\rho] = F[\rho] + V_{nuc-el}[\rho]$$



$$F[\rho] = T[\rho] + V_{el}[\rho] = T^{KS}[\rho] + J[\rho] + E_{xc}[\rho]$$



Many exchange-correlation functionals $E_{xc}[\rho]$: BP86, PBE, B3LYP, PBE0, ...

Termodinámica estadística

Abril de 2014. Revisado el 28 de noviembre de 2019

Bibliografía: I. N. Levine: *Fisicoquímica*, cap. 22

Termodinámica estadística

- ▶ *Mecánica estadística*: deducir las propiedades macroscópicas de la materia a partir de propiedades de las moléculas o partículas que la componen y las interacciones entre ellas.
- ▶ *Termod. estad.* = ME de sistemas en equilibrio termodinámico.
- ▶ Sistema macroscópico:
 - ★ *Estado termodinámico* o *macroestado*: queda determinado fijando los valores de un número suficiente de propiedades termodinámicas (P , T , V , comp., ...).
 - ★ *Estado cuántico* o *microestado*: queda determinado mediante la función de onda del sistema macrosc. (máxima información posible).

Hipótesis ergódica

- ▶ El valor que se obtiene al medir una propiedad macroscópica en un sistema en equilibrio termod. es un **promedio a lo largo del tiempo que dura la medida**. Calcular teóricamente tales promedios es difícil, por lo que supondremos que, *para las propiedades mecánicas**, se obtiene el mismo resultado calculando un promedio *ponderado* sobre un conjunto de microestados (un *colectivo*) que tengan ciertas propiedades iguales a las del sistema (**hipótesis ergódica**).

★ Para calcular los promedios ponderados sobre el colectivo de microestados necesitamos conocer el *peso* que debemos dar a cada uno, también llamado *probabilidad* (p_j) del microestado.

★ *Por ej.:* Energía interna termodinámica (no SEP):
$$U = \langle E_j \rangle_{colectivo} = \sum_j^{microest} p_j E_j$$

*Las propiedades *mecánicas* son las que definen el sistema cuántico o pueden calcularse a partir de sus funciones de onda: $N, V, E, P, H=U+PV...$ Las demás propiedades son *térmicas*: $T, S, A, G, \mu, C_P, C_V ...$, y se determinan a partir de las mecánicas utilizando relaciones termodinámicas.


Máxima entropía

- ▶ **Principio de máxima entropía estadística:** de entre todas las posibles distribuciones de probabilidad de los microestados del colectivo (p_1, p_2, \dots) se ha de escoger la de mayor *entropía estadística* (la menos sesgada). Ésta entropía se define como $S = -k \sum_j p_j \ln p_j$ ($k = k_B = 1,38066 \times 10^{-23} \text{ JK}^{-1}$).
- ★ *Dado:* si sólo sé que la media de muchas tiradas es 3,5 la distribución de probabilidades podría ser, por ejemplo, $\{1/2, 0, 0, 0, 0, 1/2\}$ ($S \approx k \ln 2 \approx 0,7k$), pero la más plausible (la menos sesgada) será la que asigne la misma probabilidad a cada cara: $\{1/6, 1/6, 1/6, 1/6, 1/6, 1/6\}$ ($S_{max} \approx k \ln 6 \approx 1,8k$).
- ★ Distribución de velocidades de las moléculas de un gas a una temperatura.

Colectivo canónico

- ▶ Consideremos un sistema macroscópico en un estado de equilibrio termodinámico caracterizado por V , N_B , N_C , ... (composición) y T .
- ▶ Calcularemos las propiedades mecánicas del macroestado como promedios ponderados sobre el colectivo “*canónico*”, formado por todos los *microestados estacionarios* del sistema:

$$\{\Psi_j\} \quad \text{tales que} \quad \hat{H}\Psi_j = E_j\Psi_j \quad E_j(V, N_B, N_C, \dots)$$


 del sistema macroscópico

- ▶ *Ejemplo:* $U = \langle E_j \rangle_{\text{colect. canónico}} = \sum_j^{\text{microest. estac.}} p_j E_j$

Probab. de un microestado

- ▶ Aplicando el principio de máxima S se demuestra que la probabilidad de un **microestado estacionario** de energía E_j es:

$$p_j = \frac{e^{-\frac{E_j}{kT}}}{Z}$$

- ★ **Función de partición canónica:**

(papel $\approx \Psi$ en mec. cuántica)

$$Z = \sum_j^{microest} e^{-\frac{E_j}{kT}}$$

- ★ Probabilidad del **nivel** de energía E_j :

$$p(E_j) = \frac{d_j e^{-\frac{E_j}{kT}}}{Z} \quad (d_j = \text{degeneración de } E_j)$$

(pico muy pronunciado en torno a $E_j = U$)

- ▶ Basta conocer los valores propios del hamiltoniano i T para obtener Z .

Demostración

Tenemos que maximizar $S = -k \sum_j p_j \ln p_j$ respecto de cada p_j con las restricciones $\sum_j p_j = 1$ y $\sum_j p_j E_j = U$

$$\frac{\partial}{\partial p_j} \left[-k \sum_j p_j \ln p_j + \alpha \left(\sum_j p_j - 1 \right) + \beta \left(\sum_j p_j E_j - U \right) \right] = 0$$

$$-k(\ln p_j + 1) + \alpha + \beta E_j = 0 \quad \Rightarrow \quad \ln p_j = \frac{\alpha + \beta E_j}{k} - 1 \quad \Rightarrow \quad p_j = e^{\frac{\alpha}{k} + \frac{\beta E_j}{k} - 1} = cte e^{\frac{\beta E_j}{k}}$$

$$1 = \sum_j p_j = cte \sum_j e^{\frac{\beta E_j}{k}} \quad \Rightarrow \quad cte = \frac{1}{\sum_j e^{\frac{\beta E_j}{k}}} \equiv \frac{1}{Z} \quad \Rightarrow \quad p_j = \frac{e^{\frac{\beta E_j}{k}}}{Z}$$

$$S = -k \sum_j p_j \ln p_j = -k \sum_j p_j \left(\frac{\beta E_j}{k} - \ln Z \right) = k \ln Z - \beta U \quad \Rightarrow \quad -\beta = \left(\frac{\partial S}{\partial U} \right)_{V,N}$$

$$\text{Termodinámica: } \left. \begin{array}{l} dU = TdS - PdV \\ dS = \frac{1}{T}dU + \frac{P}{T}dV \end{array} \right\} \Rightarrow \left(\frac{\partial S}{\partial U} \right)_{V,N} = \frac{1}{T} \Rightarrow \beta = -\frac{1}{T} \Rightarrow \boxed{p_j = \frac{e^{-\frac{E_j}{kT}}}{Z}}$$

Energía interna

► 1 fase y 1 componente (se puede generalizar): $Z = \sum_j^{microest} e^{-\frac{E_j}{kT}}$

$$\left(\frac{\partial Z}{\partial T}\right)_{V,N} = \sum_j^{microest} e^{-\frac{E_j}{kT}} \frac{E_j}{kT^2} \frac{Z}{Z} = \frac{Z}{kT^2} \sum_j^{microest} p_j E_j = \frac{Z}{kT^2} U$$

$$U = \frac{kT^2}{Z} \left(\frac{\partial Z}{\partial T}\right)_{V,N} = kT^2 \left(\frac{\partial \ln Z}{\partial T}\right)_{V,N}$$

Presión

► Si cambiamos V reversiblemente a N cte. cambiarán las E_j

★ *Ejemplo:* moléculas no interact. en una caja tridimensional cúbica:

$$Z = \sum_j^{microest} e^{-\frac{E_j}{kT}}$$

$$E_{n_x, n_y, n_z} = \frac{h^2}{8ma^2} (n_x^2 + n_y^2 + n_z^2) = \frac{h^2}{8mV^{2/3}} (n_x^2 + n_y^2 + n_z^2)$$

$$\left(\frac{\partial Z}{\partial V} \right)_{T,N} = \sum_j^{micr} \left(\frac{\partial e^{-\frac{E_j}{kT}}}{\partial E_j} \right)_{T,N} \left(\frac{\partial E_j}{\partial V} \right)_N = -\frac{1}{kT} \sum_j^{micr} e^{-\frac{E_j}{kT}} \underbrace{\frac{Z}{Z}} \left(\frac{\partial E_j}{\partial V} \right)_N$$

★ Si solo hay trabajo de expansión:

$$dE_j = dw_{rev} = -P_j dV \Rightarrow P_j = - \left(\frac{\partial E_j}{\partial V} \right)_N$$

$$\left(\frac{\partial Z}{\partial V} \right)_{T,N} = \frac{Z}{kT} \sum_j^{micr} P_j = \frac{Z}{kT} P$$

$$P = \frac{kT}{Z} \left(\frac{\partial Z}{\partial V} \right)_{T,N} = kT \left(\frac{\partial \ln Z}{\partial V} \right)_{T,N}$$

Otras propiedades termod.

► **Entropía:**
$$S = -k \sum_j p_j \ln p_j = -k \sum_j p_j \ln \frac{e^{-\frac{E_j}{kT}}}{Z} = -k \left(\sum_j p_j \right) \left(-\frac{E_j}{kT} - \ln Z \right)$$

$$= \frac{U}{T} + k \ln Z = kT \left(\frac{\partial \ln Z}{\partial T} \right)_{V,N} + k \ln Z$$

► **Energía de Helmholtz:** $A = U - TS = -kT \ln Z$

► **Entalpía:** $H = U + PV$

► **Energía de Gibbs:** $G = A + PV = H - TS$

► **Potencial químico:**

$$\mu_B = \left(\frac{\partial A}{\partial n_B} \right)_{T,V,n_{C \neq B}} = -kT \left(\frac{\partial \ln Z}{\partial n_B} \right)_{T,V,n_{C \neq B}} = -RT \left(\frac{\partial \ln Z}{\partial N_B} \right)_{T,V,N_{C \neq B}}$$

$\downarrow kN_A$
 $\uparrow N_B/N_A$

Moléculas indep. disting.

- ▶ *Por ejemplo:* las moléculas de un *sólido molecular*.

$$\widehat{H} = \widehat{H}_1 + \widehat{H}_2 + \cdots + \widehat{H}_N \quad E_j = \varepsilon_{1s} + \varepsilon_{2t} + \cdots + \varepsilon_{Nw}$$

$$Z = \sum_j^{microest} e^{-\frac{\varepsilon_{1s} + \varepsilon_{2t} + \cdots + \varepsilon_{Nw}}{kT}} = \sum_s^{estMol1} \sum_t^{estMol2} \cdots \sum_w^{estMolN} e^{-\frac{\varepsilon_{1s}}{kT}} e^{-\frac{\varepsilon_{2t}}{kT}} \cdots e^{-\frac{\varepsilon_{Nw}}{kT}}$$

Def.: *Función de partición molecular* de la moléc. 1: $z_1 = \sum_s^{estMol1} e^{-\frac{\varepsilon_{1s}}{kT}}$

$$Z = z_1 z_2 \cdots z_N$$

- ▶ Si todas las moléculas son del **mismo tipo**: $Z = z^N$
- ▶ Si hay N_B moléculas del tipo B , N_C moléculas del tipo C , ...:

$$Z = z_B^{N_B} z_C^{N_C} \dots$$

Moléculas indep. indisting.

► Gas ideal puro (1 componente):

- ★ Supondremos que *núm. estados moleculares accesibles* $\gg N$ ($\langle N_s \rangle \ll 1$, transl.)
 \Rightarrow es enormemente improbable que haya >1 moléc. en un mismo estado.
 - *Estadística clásica*: válido excepto a T muy baja ($\text{He}_{(l)}$) y/o ρ muy alta (estrellas de n) y/o m muy pequeña (e^- de conducción de un metal) \Rightarrow *estadística cuántica* (bosones \neq fermiones).
- ★ Moléc. 1 en s y moléc. 2 en t es indistinguible de moléc. 1 en t y moléc. 2 en s \Rightarrow **mismo microestado**. Para N moléculas $N!$ permutaciones \Rightarrow *núm. microest. partíc. indisting.* = *núm. microest. partíc. disting.* / $N!$

$$Z = \sum_s^{estMol1} \sum_t^{estMol2} \cdots \sum_w^{estMolN} e^{-\frac{\epsilon_{1s}}{kT}} e^{-\frac{\epsilon_{2t}}{kT}} \cdots e^{-\frac{\epsilon_{Nw}}{kT}} / N! = \frac{z^N}{N!}$$

Moléculas indep. indisting.

$$\varepsilon_s = \varepsilon_{tr,t} + \varepsilon_{rot,r} + \varepsilon_{vib,v} + \varepsilon_{el,u}$$

$$z = \sum_s e^{-\frac{\varepsilon_s}{kT}} = \sum_t e^{-\frac{\varepsilon_{tr,t}}{kT}} \sum_r e^{-\frac{\varepsilon_{rot,r}}{kT}} \sum_v e^{-\frac{\varepsilon_{vib,v}}{kT}} \sum_u e^{-\frac{\varepsilon_{el,u}}{kT}}$$

$$= \left(\sum_t e^{-\frac{\varepsilon_{tr,t}}{kT}} \right) \left(\sum_r e^{-\frac{\varepsilon_{rot,r}}{kT}} \right) \left(\sum_v e^{-\frac{\varepsilon_{vib,v}}{kT}} \right) \left(\sum_u e^{-\frac{\varepsilon_{el,u}}{kT}} \right)$$

$$= z_{tr} z_{rot} z_{vib} z_{el}$$

$$\ln Z = \ln \frac{z^N}{N!} = N \ln z - \ln N! = N(\ln z_{tr} + \ln z_{rot} + \ln z_{vib} + \ln z_{el}) - \ln N!$$

$$U = kT^2 \left(\frac{\partial \ln Z}{\partial T} \right)_{V,N} = NkT^2 \left(\frac{\partial \ln z_{tr}}{\partial T} \right)_{V,N} + NkT^2 \left(\frac{\partial \ln z_{rot}}{\partial T} \right)_{V,N} + \dots - \left(\frac{\partial \ln N!}{\partial T} \right)_{V,N}$$

$$= U_{tr} + U_{rot} + U_{vib} + U_{el} \quad \downarrow \quad 0$$

Moléculas indep. indisting.

$$\begin{aligned}
 S &= \frac{U}{T} + k \ln Z \\
 &= \frac{U_{tr}}{T} + \frac{U_{rot}}{T} + \frac{U_{vib}}{T} + \frac{U_{el}}{T} + kN(\ln z_{tr} + \ln z_{rot} + \ln z_{vib} + \ln z_{el}) - k \ln N!
 \end{aligned}$$

Moléculas indep. indisting.

$$\begin{aligned}
 S &= \frac{U}{T} + k \ln Z \\
 &= \frac{U_{tr}}{T} + \frac{U_{rot}}{T} + \frac{U_{vib}}{T} + \frac{U_{el}}{T} + kN (\ln z_{tr} + \ln z_{rot} + \ln z_{vib} + \ln z_{el}) - k \ln N! \\
 &= S_{tr} + S_{rot} + S_{vib} + S_{el}
 \end{aligned}$$

consecuencia del movimiento traslacional

donde

$$S_{tr} = \frac{U_{tr}}{T} + k(N \ln z_{tr} - \ln N!)$$

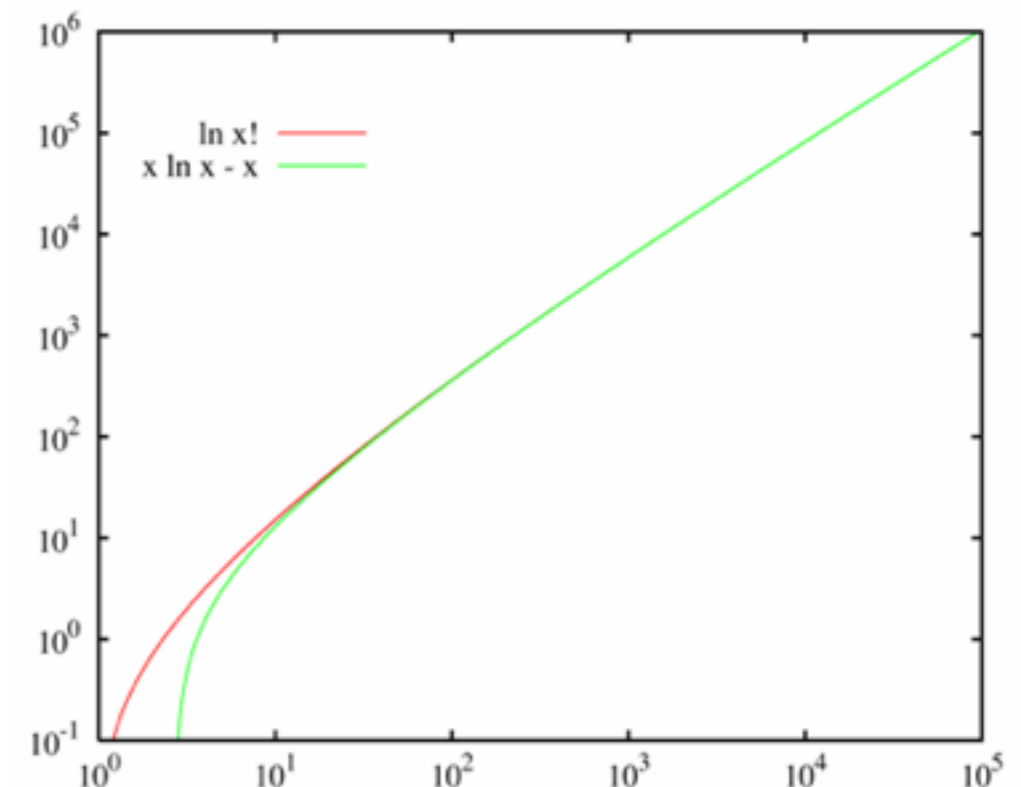
$$S_{rot} = \frac{U_{rot}}{T} + kN \ln z_{rot}$$

$$S_{vib} = \frac{U_{vib}}{T} + kN \ln z_{vib}$$

$$S_{el} = \frac{U_{el}}{T} + kN \ln z_{el}$$

Fórmula de Stirling (N↑):

$$\ln N! \approx N \ln N - N$$



Población de un est. molecular

► *Gas ideal puro* (moléculas independientes indistinguibles)

★ Energía de un microestado: $E_j = N_{sj} \epsilon_s + N_{tj} \epsilon_t + \dots$

★ $\langle N_s \rangle = \sum_j^{microest} p_j N_{sj} = \frac{\sum_j N_{sj} e^{-(N_{sj} \epsilon_s + N_{tj} \epsilon_t + \dots)/kT}}{Z}$

$$\begin{aligned} \left(\frac{\partial Z}{\partial \epsilon_s} \right)_{T,N} &= \frac{\partial}{\partial \epsilon_s} \sum_j e^{-(N_{sj} \epsilon_s + N_{tj} \epsilon_t + \dots)/kT} \\ &= -\frac{1}{kT} \sum_j N_{sj} e^{-(N_{sj} \epsilon_s + N_{tj} \epsilon_t + \dots)/kT} \end{aligned}$$

Población de un est. molecular

► *Gas ideal puro* (moléculas independientes indistinguibles)

★ Energía de un microestado: $E_j = N_{sj} \epsilon_s + N_{tj} \epsilon_t + \dots$

★ $\langle N_s \rangle = \sum_j^{microest} p_j N_{sj} = \frac{\sum_j N_{sj} e^{-(N_{sj} \epsilon_s + N_{tj} \epsilon_t + \dots)/kT}}{Z}$

$$\left(\frac{\partial Z}{\partial \epsilon_s} \right)_{T,N} = \frac{\partial}{\partial \epsilon_s} \sum_j e^{-(N_{sj} \epsilon_s + N_{tj} \epsilon_t + \dots)/kT}$$

$$= -\frac{1}{kT} \sum_j N_{sj} e^{-(N_{sj} \epsilon_s + N_{tj} \epsilon_t + \dots)/kT}$$

$$\langle N_s \rangle = -kT \frac{1}{Z} \left(\frac{\partial Z}{\partial \epsilon_s} \right)_{T,N} = -kT \left(\frac{\partial \ln Z}{\partial \epsilon_s} \right)_{T,N}$$

Ley de distr. de poblaciones

$$\langle N_s \rangle = -kT \left(\frac{\partial \ln Z}{\partial \epsilon_s} \right)_{T,N}$$

$$\ln Z = \ln \frac{z^N}{N!} = N \ln z - \ln N!$$

no depende de ϵ_s

$$\left(\frac{\partial \ln Z}{\partial \epsilon_s} \right)_{T,N} = N \frac{\partial \ln z}{\partial \epsilon_s} = \frac{N}{z} \frac{\partial z}{\partial \epsilon_s} = \frac{N}{z} \frac{\partial \sum_t^{estMol} e^{-\frac{\epsilon_t}{kT}}}{\partial \epsilon_s} = -\frac{N}{zkT} e^{-\frac{\epsilon_s}{kT}}$$

Ley de Boltzmann:
(pobl. **estados** molec.)

$$\frac{\langle N_s \rangle}{N} = \frac{e^{-\frac{\epsilon_s}{kT}}}{z}$$

$$\frac{\langle N_s \rangle}{\langle N_t \rangle} = e^{-\frac{\epsilon_s - \epsilon_t}{kT}}$$

$$(\langle N_s \rangle \ll 1)$$

Ley de Boltzmann:
(pobl. **niveles** molec.)

$$\frac{\langle N(\epsilon_s) \rangle}{N} = \frac{d_s e^{-\frac{\epsilon_s}{kT}}}{z} = \frac{d_s e^{-\frac{\epsilon_s}{kT}}}{\sum_t^{nivMol} d_t e^{-\frac{\epsilon_t}{kT}}}$$

$$\frac{\langle N(\epsilon_s) \rangle}{\langle N(\epsilon_t) \rangle} = \frac{d_s}{d_t} e^{-\frac{\epsilon_s - \epsilon_t}{kT}}$$

Gas ideal diatómico

- ▶ **FP traslacional:** caja de potencial de lados a , b y c

$$z_{tr} = \left(\frac{2\pi m k T}{h^2} \right)^{\frac{3}{2}} V \quad \Delta \varepsilon_{tr} \ll kT \quad (\text{válida para cualquier gas ideal puro})$$

- ▶ **FP rotacional:** rotor rígido (*núm. de simetría* $\sigma = 1$ para heteronuc. y 2 para homonuc.)

$$z_{rot} = \frac{T}{\sigma \Theta_{rot}} \quad \Theta_{rot} \equiv \frac{\hbar^2}{2I_e k} = \frac{h B_e}{k} \ll T \quad (\Theta_{rot}: \text{temp. rot. caract.}) \quad (\text{válida para moléculas lineales})$$

- ▶ **FP vibracional:** $z_{vib} = \frac{e^{-h\nu_e/2kT}}{1 - e^{-h\nu_e/kT}} = \frac{e^{-\Theta_{vib}/2T}}{1 - e^{-\Theta_{vib}/T}} \quad \left(\Theta_{vib} = \frac{h\nu_e}{k} \right)$

- ▶ **FP electrónica:** $z_{el} = d_{el,0} \quad (\varepsilon_{el,0} = 0 \quad \text{y} \quad \varepsilon_{el,1} - \varepsilon_{el,0} \gg kT)$
(válida para cualquier gas ideal puro)

Gas ideal diatómico

► Energía interna:

(diapo 13)

$$U_{tr} \stackrel{\downarrow}{=} NkT^2 \left(\frac{\partial \ln z_{tr}}{\partial T} \right)_{V,N} = \frac{3}{2}nRT \quad (\text{válida para cualquier gas ideal puro}^*)$$

$$U_{rot} = nRT \quad (\text{válida para moléculas lineales}^*;$$

$$(3/2)nRT \text{ para moléculas no lineales}^*)$$

$$U_{vib} = nR \frac{h\nu}{k} \left(\frac{1}{2} + \frac{1}{e^{h\nu_e/kT} - 1} \right) = nR\Theta_{vib} \left(\frac{1}{2} + \frac{1}{e^{\Theta_{vib}/T} - 1} \right)$$

$$U_{el} = 0 \quad (\text{válida para cualquier gas ideal puro}^*)$$

*en las condiciones indicadas en la diapositiva anterior

Intermolecular interactions

April, 2014. Revised on november 29th, 2018.

Bibliografia: J. C. Paniagua & P. Alemany, *Química Quàntica*, § 7.3
I. N. Levine: *Fisicoquímica*, § 22.10

Electric multipoles

- ▶ **Static electric field** $\vec{F} = -\vec{\nabla}V(\vec{r})$:

a detailed information about the charge distribution is needed

$$E_{m-F} = \sum_{j=1}^n q_j V(\vec{r}_j) = \sum_{j=1}^n q_j \left[V_0 + \left(\frac{\partial V}{\partial x} \right)_0 x_j + \left(\frac{\partial V}{\partial y} \right)_0 y_j + \left(\frac{\partial V}{\partial z} \right)_0 z_j + \frac{1}{2} \left(\frac{\partial^2 V}{\partial x^2} \right)_0 x_j^2 + \frac{1}{2} \left(\frac{\partial^2 V}{\partial x \partial y} \right)_0 x_j y_j + \dots + \frac{1}{2} \left(\frac{\partial^2 V}{\partial z^2} \right)_0 z_j^2 + \dots \right]$$

Electric multipoles

► **Static electric field** $\vec{F} = -\vec{\nabla}V(\vec{r})$:

a detailed information about the charge distribution is needed

$$\begin{aligned}
 E_{m-F} &= \sum_{j=1}^n q_j V(\vec{r}_j) = \sum_{j=1}^n q_j \left[V_0 + \left(\frac{\partial V}{\partial x} \right)_0 x_j + \left(\frac{\partial V}{\partial y} \right)_0 y_j + \left(\frac{\partial V}{\partial z} \right)_0 z_j \right. \\
 &\quad \left. + \frac{1}{2} \left(\frac{\partial^2 V}{\partial x^2} \right)_0 x_j^2 + \frac{1}{2} \left(\frac{\partial^2 V}{\partial x \partial y} \right)_0 x_j y_j + \dots + \frac{1}{2} \left(\frac{\partial^2 V}{\partial z^2} \right)_0 z_j^2 + \dots \right] \\
 &= V_0 \sum_{j=1}^n q_j - (F_x)_0 \sum_{j=1}^n q_j x_j - (F_y)_0 \sum_{j=1}^n q_j y_j - (F_z)_0 \sum_{j=1}^n q_j z_j \\
 &\quad - \frac{1}{2} \left(\frac{\partial F_x}{\partial x} \right)_0 \sum_{j=1}^n q_j x_j^2 - \frac{1}{2} \left(\frac{\partial F_x}{\partial y} \right)_0 \sum_{j=1}^n q_j x_j y_j \dots - \frac{1}{2} \left(\frac{\partial F_z}{\partial z} \right)_0 \sum_{j=1}^n q_j z_j^2 \dots
 \end{aligned}$$

Electric multipoles

► **Static electric field:**

$$E_{m-F} = V_0 q - \vec{F}_0 \cdot \vec{d} - \frac{1}{2} \left[\left(\frac{\partial F_x}{\partial x} \right)_0 Q_{xx} + \left(\frac{\partial F_x}{\partial y} \right)_0 Q_{xy} + \dots + \left(\frac{\partial F_z}{\partial z} \right)_0 Q_{zz} \right] - \dots$$

zero-th order electric moment
(electric monopole)

$$q \equiv \sum_{j=1}^n q_j$$

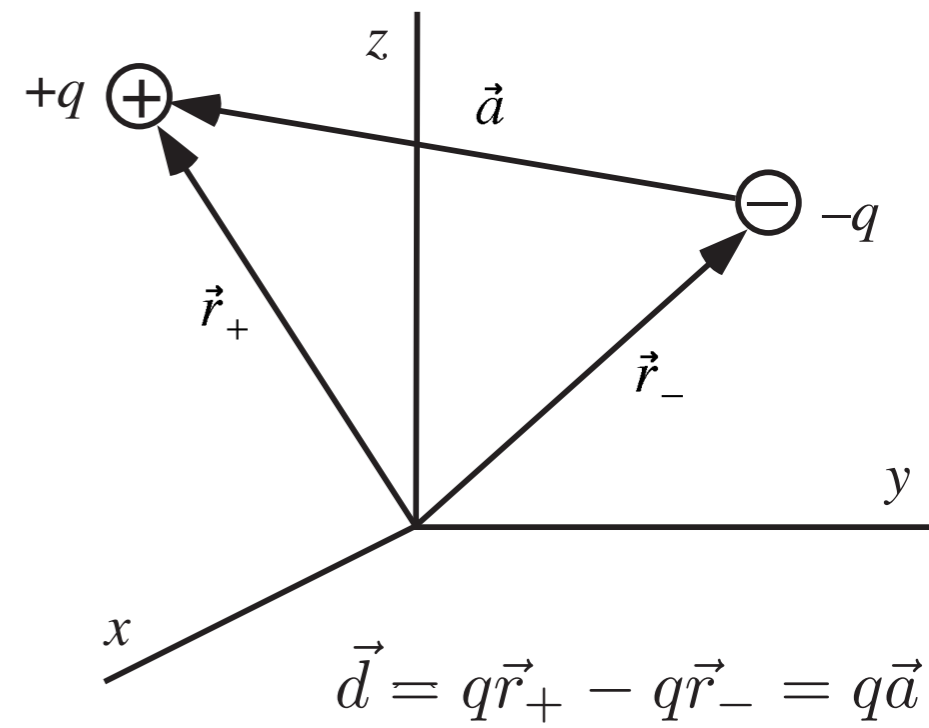
first-order electric moment
(electric dipole)

$$\begin{cases} d_x \equiv \sum_{j=1}^n q_j x_j \\ d_y \equiv \sum_{j=1}^n q_j y_j \\ d_z \equiv \sum_{j=1}^n q_j z_j \end{cases}$$

second-order electric moment
(electric quadrupole)

$$\begin{cases} Q_{xx} \equiv \sum_{j=1}^n q_j x_j^2 \\ Q_{xy} \equiv \sum_{j=1}^n q_j x_j y_j \\ \dots \\ Q_{zz} \equiv \sum_{j=1}^n q_j z_j^2 \end{cases}$$

... n-th order electric moment (electric 2ⁿ-pole)



Magnetic multipoles

► Moving charges in a time-dependent EM field:

$$E_{m-r}(t) = V_0(t)q - \vec{F}_0(t) \cdot \vec{d} - \frac{1}{2} \left[\left(\frac{\partial F_x(t)}{\partial x} \right)_0 Q_{xx} + \dots \right] - \dots$$

$$- \vec{B}_0(t) \cdot \vec{\mu} - \dots$$

Dipolar approximation

$$\vec{\mu} = \vec{\mu}_L + \vec{\mu}_S + \vec{\mu}_J + \vec{\mu}_I \left\{ \begin{array}{l} \vec{\mu}_L = \sum_{i=1}^n \frac{-e}{2m_e} \vec{l}_i = \frac{-e}{2m_e} \vec{L} \\ \vec{\mu}_S = \sum_{i=1}^n g_e \frac{-e}{2m_e} \vec{s}_i = g_e \frac{-e}{2m_e} \vec{S} \\ \vec{\mu}_J = \sum_{A=1}^N \frac{Z_A e}{2m_A} \vec{j}_A \\ \vec{\mu}_I = \sum_{A=1}^N (g_N)_A \frac{e}{2m_p} \vec{I}_A \end{array} \right.$$

Polarizability

► *Static* electric field:

► *static polarizability*

$$\begin{pmatrix} d_x(\vec{F}) \\ d_y(\vec{F}) \\ d_z(\vec{F}) \end{pmatrix} = \begin{pmatrix} d_x(\vec{0}) \\ d_y(\vec{0}) \\ d_z(\vec{0}) \end{pmatrix} + \begin{pmatrix} \alpha_{xx} & \alpha_{xy} & \alpha_{xz} \\ \alpha_{yx} & \alpha_{yy} & \alpha_{yz} \\ \alpha_{zx} & \alpha_{zy} & \alpha_{zz} \end{pmatrix} \begin{pmatrix} F_x \\ F_y \\ F_z \end{pmatrix} + \dots$$

permanent
electric
dipole
moment

induced electric dipole moment

► *Time-dependent* electric field:

► *dynamic or frequency-dependent polarizability*

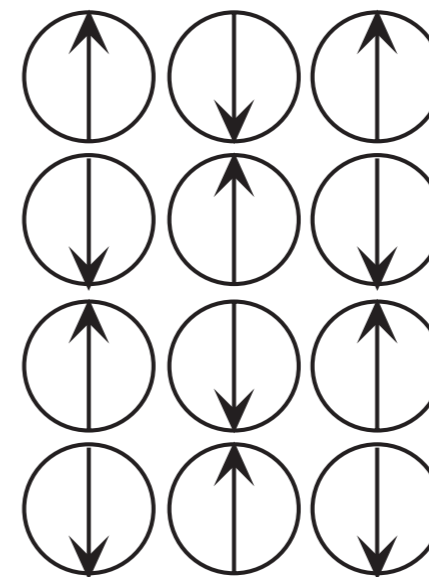
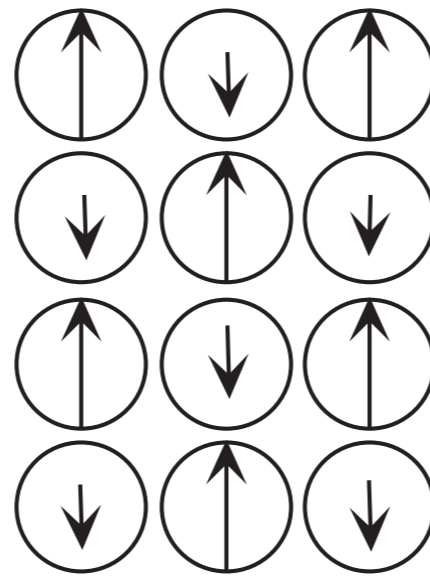
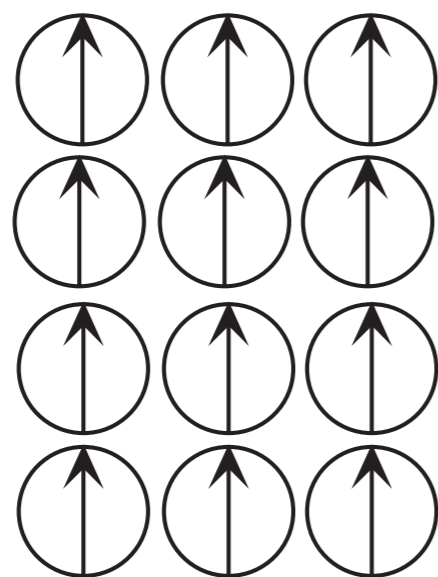
Polarization & magnetization

$$\vec{P} = \chi_e \epsilon_0 \vec{F}$$

$$\chi_e = \epsilon_r - 1$$

$$\vec{M} = \chi_m \frac{1}{\mu} \vec{B}$$

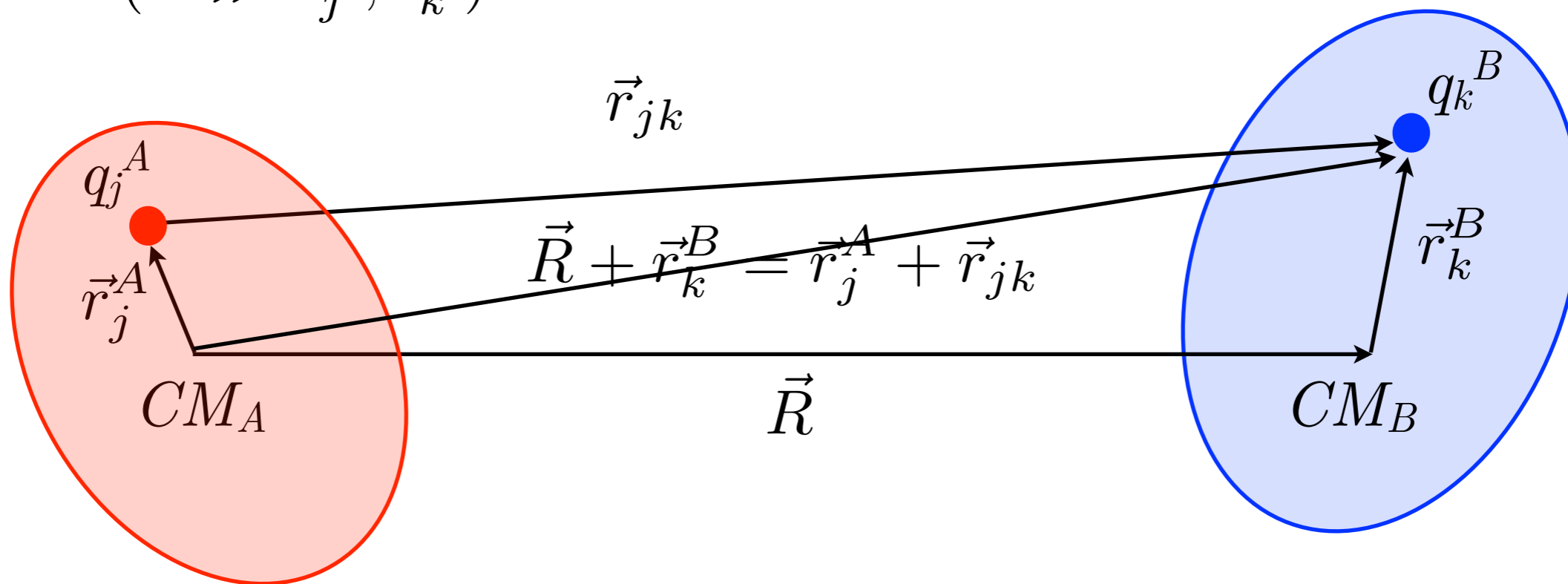
$$\chi_m = \mu_r - 1$$



Ferromagnetic Ferrimagnetic Antiferromagnetic

Interac. intermoleculares

- ▶ **2 moléculas** separadas una distancia grande en relación con su tamaño ($R \gg r_j^A, r_k^B$):



$$E_{intAB} = \sum_{j=1}^{n_A} \sum_{k=1}^{n_B} \frac{1}{4\pi\epsilon_0} \frac{q_j^A q_k^B}{r_{jk}} = \sum_{j=1}^{n_A} \sum_{k=1}^{n_B} \frac{1}{4\pi\epsilon_0} \frac{q_j^A q_k^B}{|\vec{R} + \vec{r}_k^B - \vec{r}_j^A|} = \dots$$

Cargas estáticas

► Distribuciones de carga **estáticas** (sin considerar la polarización de una molécula por el campo producido por la otra, ni el movimiento de las moléculas, ni interacciones a 3 cuerpos):

★ int. **carga-carga**: $E_{qq} = \frac{q_A q_B}{4\pi\epsilon_0} \frac{1}{R}$

★ int. **carga-dipolo**: $E_{qd} = \frac{q_A d_B + q_B d_A}{4\pi\epsilon_0} \frac{1}{R^2}$

★ int. **carga-cuadrupolo y dipolo-dipolo**: $E_{qQ} = \frac{q_A Q_B + Q_B q_A}{4\pi\epsilon_0} \frac{1}{R^3}$

★ ... $E_{dd} = \frac{d_A d_B + d_B d_A}{4\pi\epsilon_0} \frac{1}{R^3}$

★ int. entre **multipolos de órdenes n y m** : $\propto R^{-(n+m+1)}$

Atracción de van der Waals

- ▶ Los movimientos moleculares (**rotaciones, ...**) hacen que debamos promediar las interacciones ponderando de acuerdo con la ley de Boltzmann:

$$\langle E_{dip-dip} \rangle_{rot} = -\frac{d_A^2 d_B^2}{6\pi\epsilon_0 kT} \frac{1}{R^6}$$

- ▶ Interacciones entre momentos inducidos por el campo de la otra molécula; por ej. **dipolo permanente - dipolo inducido**: $\langle E_{dip-dipInd} \rangle = -\frac{d_A^2 \alpha_B + d_B^2 \alpha_A}{(4\pi\epsilon_0)^2} \frac{1}{R^6}$

- ▶ Interacciones entre momentos instantáneos debidos a fluctuaciones de carga en una molécula y los momentos que éstos inducen en la otra (*energía de dispersión o de London*); por ej. **dipolo instantáneo - dipolo inducido**:

$$\langle E_{dipInst-dipInd} \rangle = -\frac{3EI_A EI_B \alpha_A \alpha_B}{2(4\pi\epsilon_0)^2 (EI_A + EI_B)} \frac{1}{R^6}$$

- ★ término **dominante** en la atracción de vdW salvo para moléculas pequeñas muy polares.

Energía total de interacción

- ▶ **Van der Waals:** $\approx 0,1 - 2$ kcal/mol (moléculas pequeñas)

★ En ausencia de enlaces covalentes o de H:

$$E_{intAB} \approx 4D_e \left[\left(\frac{R_0}{R} \right)^{12} - \left(\frac{R_0}{R} \right)^6 \right] \quad \text{Potencial de Lennard-Jones o } 6-12 \quad (R_e = 2^{1/6} R_0 \approx 1,12 R_0)$$

↑
repulsión de Pauli

$R_0 \approx$ suma de radios medios moleculares (3 - 6 Å para moléculas pequeñas)

- ▶ **Enlaces (puentes) de H:** ≈ 2 a 10 kcal/mol; 2 - 3 Å.

- ▶ **Enlaces covalentes:** ≈ 30 a 230 kcal/mol; 1 - 3 Å.

Bases de l'espectroscòpia

Maig de 2014 - Revisat el 9 de desembre de 2019

Bibliografia: J. C. Paniagua & P. Alemany, *Química Quàntica*, cap. 7

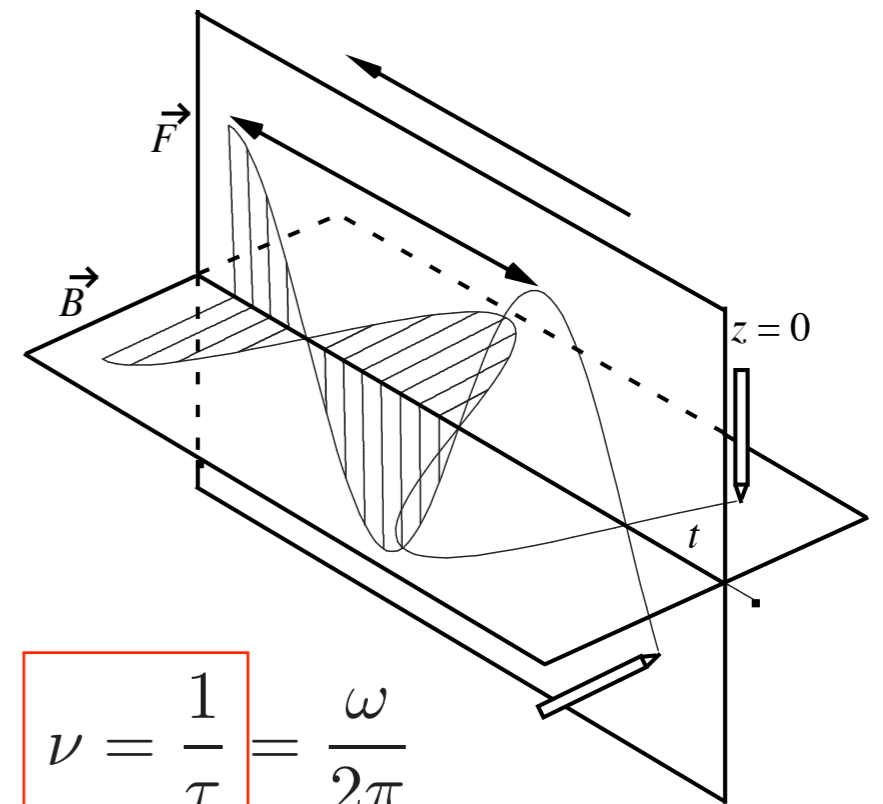
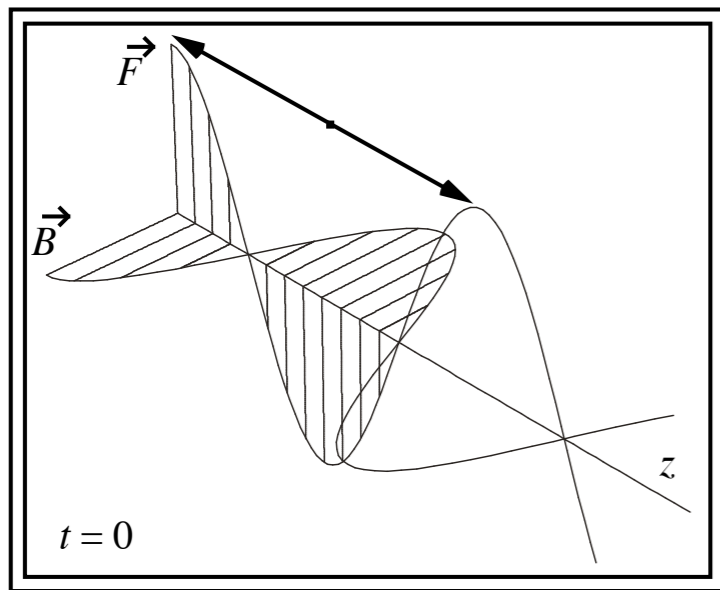
Electromagnetic waves

(Particular) solution of Maxwell equations in vacuum:

$$\vec{F} = \vec{u}_x F \cos(\omega t - kz + \varphi)$$

$$\vec{B} = \vec{u}_y B \cos(\omega t - kz + \varphi)$$

$$c = \frac{\omega}{k} \quad F = cB \quad c = \frac{1}{\sqrt{\epsilon_0 \mu_0}} = 2,99792458 \times 10^8 \text{ms}^{-1}$$



PML waves

$$\lambda = \frac{2\pi}{k}$$

$$\bar{\nu} = \frac{1}{\lambda} = \frac{k}{2\pi}$$

$$\tau = \frac{2\pi}{\omega}$$

$$\nu = \frac{1}{\tau} = \frac{\omega}{2\pi}$$

$$c = \lambda \nu$$

$$E_{phot} = h\nu = hc\bar{\nu}$$

EM spectrum

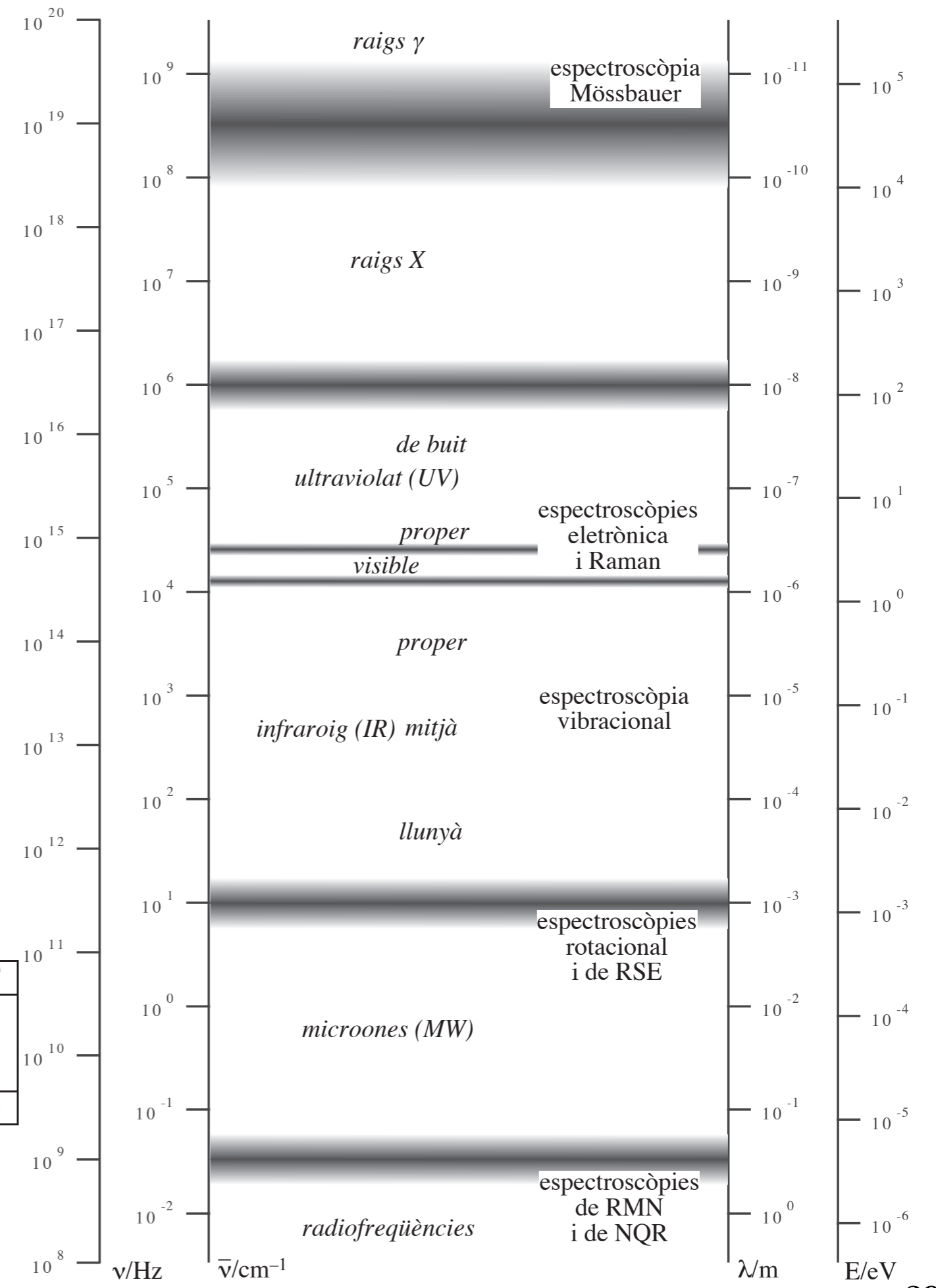
$$\nu = \frac{c_{med}}{\lambda_{med}} = \frac{c}{\lambda_{vac}}$$

$$\lambda_{vac} = \frac{c \lambda_{med}}{c_{med}} = n_{med} \lambda_{med}$$

$$n_{med} \equiv \frac{c}{c_{med}} = \frac{\sqrt{\epsilon_{med} \mu_{med}}}{\sqrt{\epsilon_0 \mu_0}} = \sqrt{\epsilon_r \mu_r}$$

Zona	UV	UV proper	Visible	NIR	MIR - RF
ν /THz	1500	1000	500	200	≤ 30
$\bar{\nu}$ /cm ⁻¹	50000	33360	16680	6670	≤ 1000
λ	200 nm	300 nm	600 nm	1,5 μ m	$\geq 10 \mu$ m
n_{aire}	1,0003241	1,0002916	1,0002770	1,0002733	1,0002726

► PES: eV

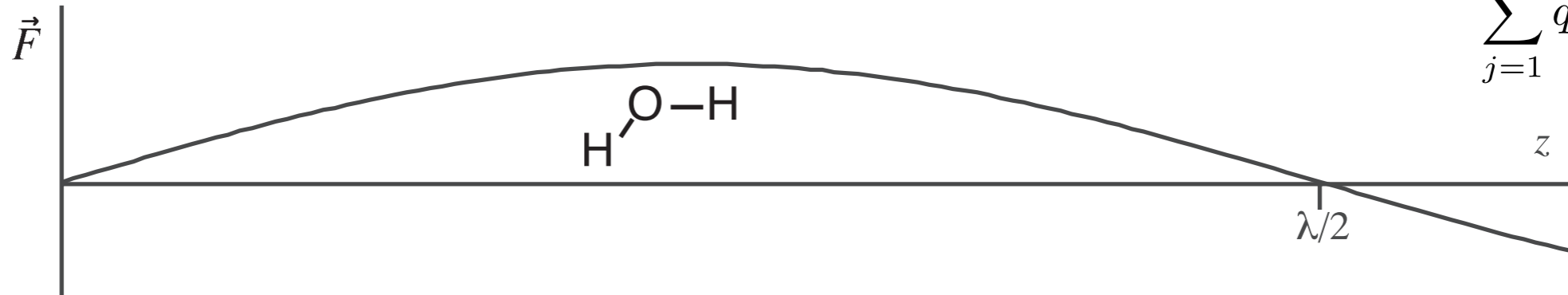


Interaction energy

- Dipole approximation ($\lambda \gg r_i$):

$$E_{m-r}(t) = V_0(t)q - \vec{F}_0(t) \cdot \vec{d} - \vec{B}_0(t) \cdot \vec{\mu} - \frac{1}{2} \left[\left(\frac{\partial F_x(t)}{\partial x} \right)_0 Q_{xx} + \dots \right] + \dots$$

$\sum_{j=1}^n q_j x_j^2$



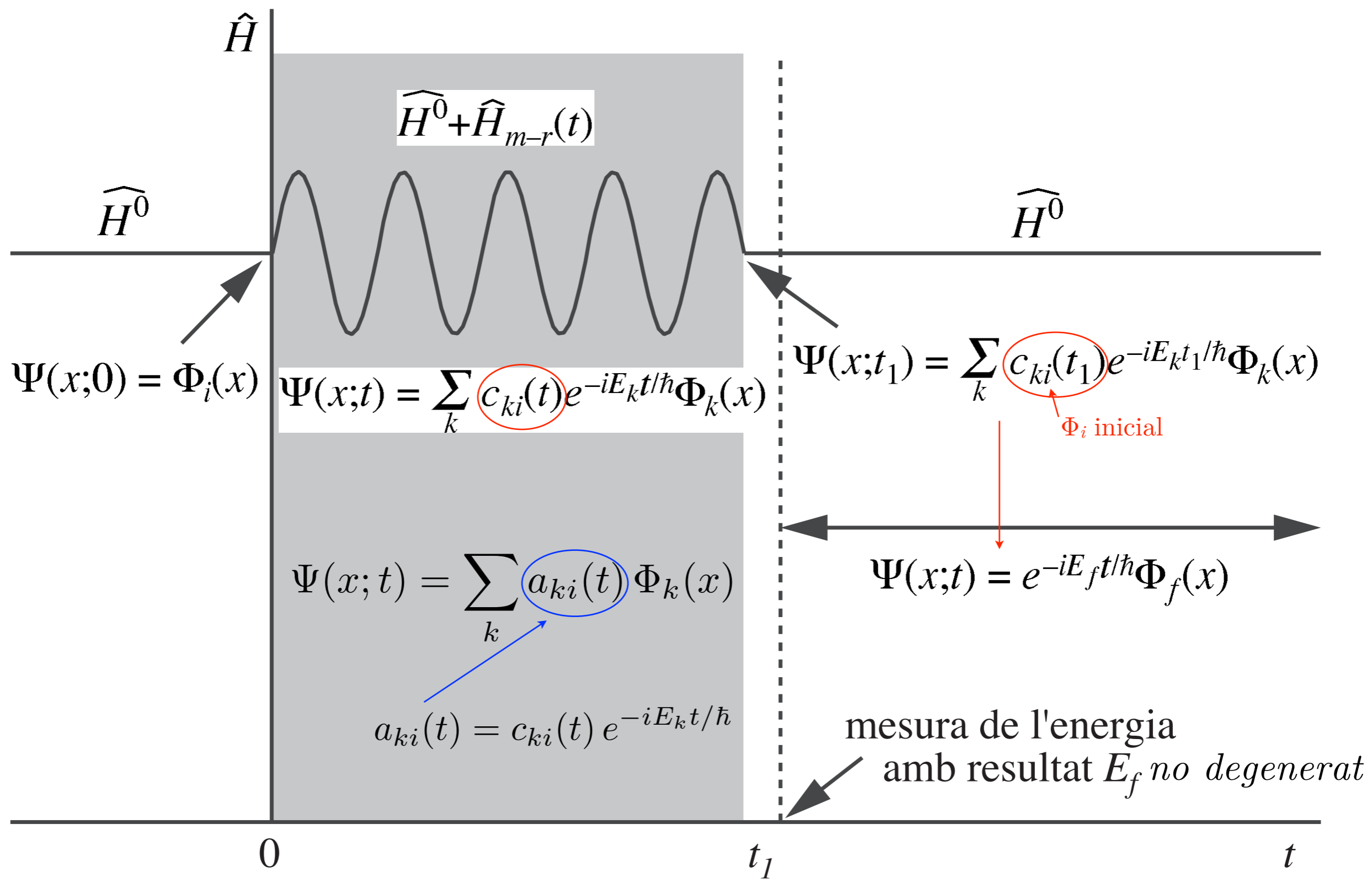
- Lorentz:

$F = cB$

$$q \left(\vec{F} + \vec{v} \times \vec{B} \right) = -eB (c\vec{u}_x + \vec{v} \times \vec{u}_y) \cos(\omega t - kz + \varphi)$$

$$\frac{\text{magnetic force}}{\text{electric force}} \leq \frac{-eBv \cos(\omega t - kz + \varphi)}{-eBc \cos(\omega t - kz + \varphi)} = \frac{v}{c}$$

Evolució de un estat estac.



Evolució d'un estat estac.

► Durant la irradiació $(0, t_1)$:

$$\Psi(x; t) = \sum_k c_{ki}(t) e^{-iE_k t/\hbar} \Phi_k(x)$$

$$i\hbar \frac{\partial \Psi}{\partial t} = \left(\widehat{H}^0 + \widehat{H}_{m-r}(t) \right) \Psi$$

$$\frac{dc_{fi}(t)}{dt} = \frac{1}{i\hbar} \sum_k c_{ki}(t) e^{i\omega_{fk}t} \left\langle \Phi_f \left| \widehat{H}_{m-r}(t) \right| \Phi_k \right\rangle \quad t \in (0, t_1)$$

$$\omega_{fk} \equiv \frac{E_f - E_k}{\hbar}$$

Time-dependent perturb.

► **1st order:** $c_{ki}(t) \approx c_{ki}(0) = \delta_{ki} \quad \forall k$

$$\frac{dc_{fi}^{(1)}(t)}{dt} = \frac{1}{i\hbar} e^{i\omega_{fi}t} \left\langle \Phi_f \left| \widehat{H}_{m-r}(t) \right| \Phi_i \right\rangle \quad t \in (0, t_1)$$

$$c_{fi}^{(1)}(t) = \frac{1}{i\hbar} \int_0^t e^{i\omega_{fi}t'} \left\langle \Phi_f \left| \widehat{H}_{m-r}(t') \right| \Phi_i \right\rangle dt'$$

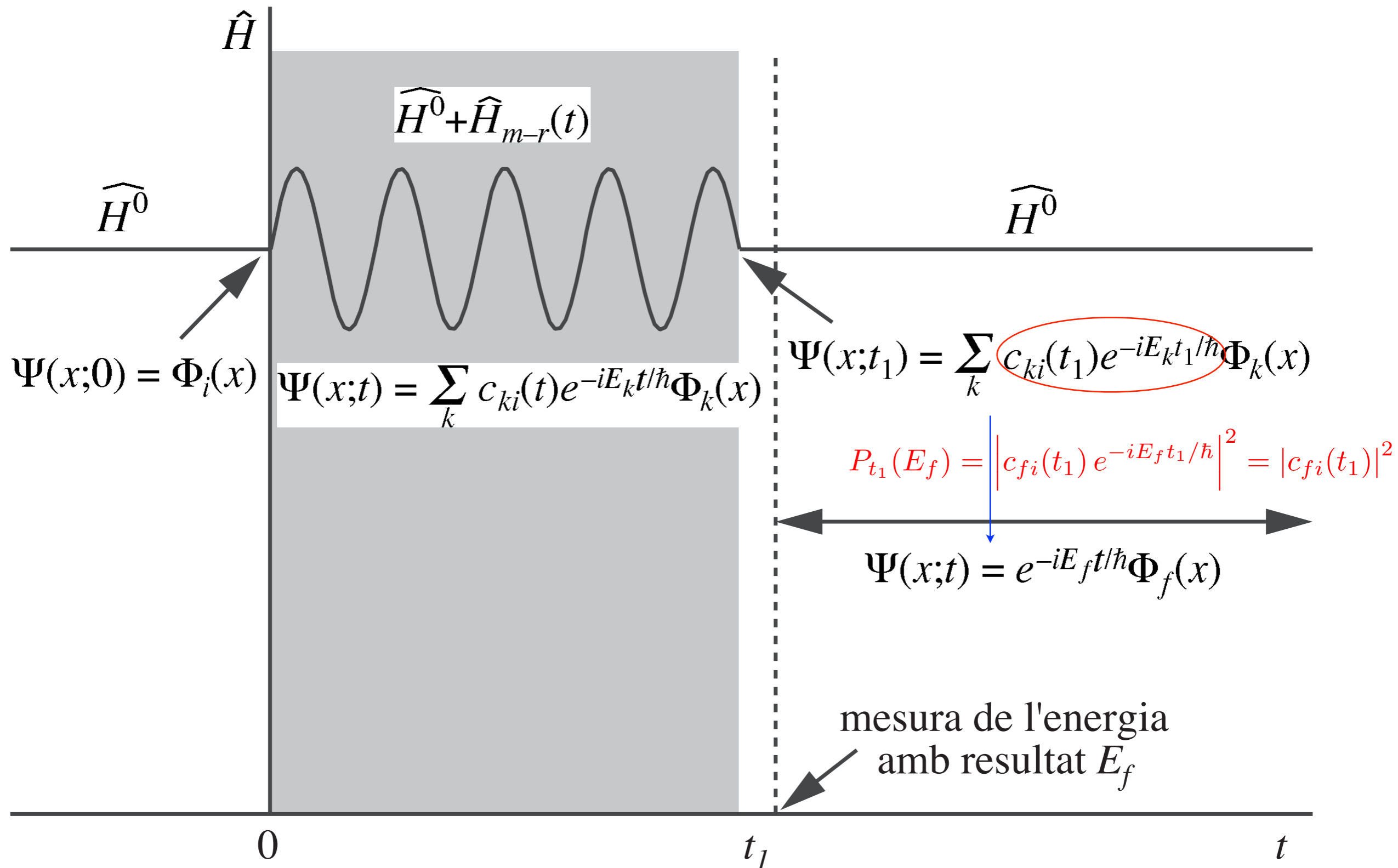
For any $\Phi_f \neq \Phi_i$ ($c_{ii}(t)$ can be obtained by normalizing Ψ)

► **Dipole approximation:**

$$\widehat{H}_{m-r}(t) = V_0(t)q - F \cos(\omega t) \widehat{d}_x - B \cos(\omega t) \widehat{\mu}_y \quad (\text{ona PML})$$

$$\widehat{\vec{d}} = \sum_{j=1}^n q_j \widehat{\vec{r}}_j \quad \widehat{\vec{\mu}}_L = \frac{-e}{2m_e} \widehat{\vec{L}} \quad \text{etc.}$$

Probabilitat de transició



1-photon transitions

$$P_{t_1}(E_f) = P(s \leftrightarrow i) = \frac{F^2}{\hbar^2} \left| \left\langle \Phi_s \left| \left(\widehat{d}_x + \frac{1}{c} \widehat{\mu}_y \right) \Phi_i \right. \right\rangle \right|^2 \frac{\sin^2 [(\omega_{si} - \omega)t_1/2]}{(\omega_{si} - \omega)^2} \quad (\text{ona PML})$$

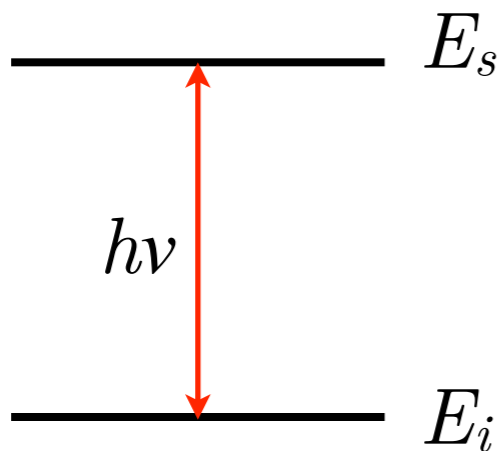
absorption: ←

induced emission: →

Selection rules

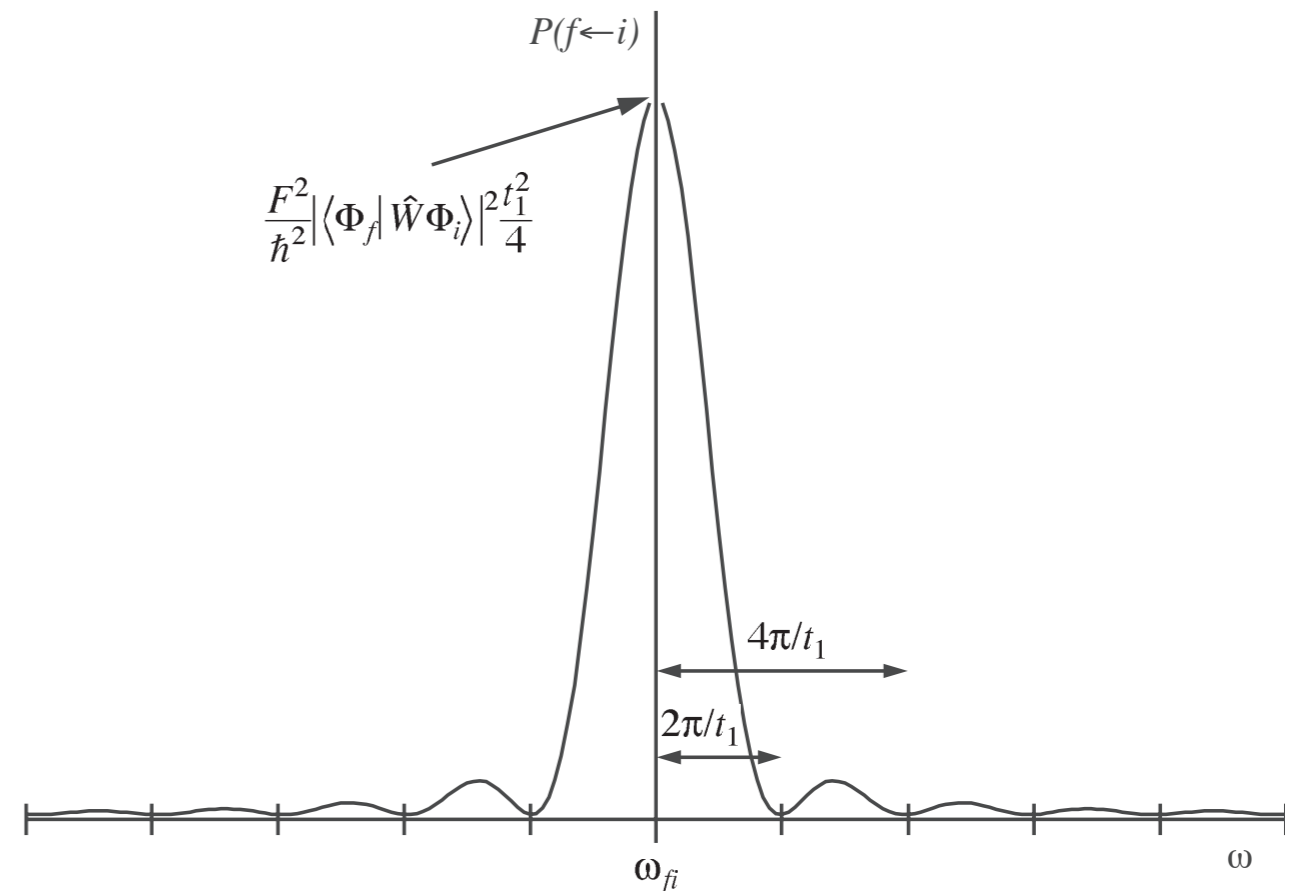
(dipolar and 1st order or monophotonic)

$$E_s - E_i \approx \hbar\omega = h\nu$$



(monophotonic) absorption: ↑

(monophotonic) induced emission: ↓



Rad. policrom. isòtropa

constant de velocitat de la transició

densitat d'energia per unitat de freqüència

$$w_{si} = \frac{dP(s \leftrightarrow i)}{dt_1} = \frac{1}{6\hbar^2 \epsilon_0} \left| \left\langle \Phi_s \left| \hat{\vec{d}} \Phi_i \right. \right\rangle \right|^2 u(\nu_{si})$$

B_{si}

trans. per dipol elèctric,
radiació isòtropa o
molèc. en rotació

$$\left| \left\langle \Phi_s \left| \hat{\vec{d}} \Phi_i \right. \right\rangle \right|^2 = \left| \left\langle \Phi_s \left| \hat{d}_x \Phi_i \right. \right\rangle \right|^2 + \left| \left\langle \Phi_s \left| \hat{d}_y \Phi_i \right. \right\rangle \right|^2 + \left| \left\langle \Phi_s \left| \hat{d}_z \Phi_i \right. \right\rangle \right|^2$$

$$w_{si} = B_{si} u(\nu_{si})$$

$$B_{si} \equiv \frac{1}{6\hbar^2 \epsilon_0 c^2} \left| \left\langle \Phi_s \left| \hat{\vec{\mu}} \Phi_i \right. \right\rangle \right|^2$$

trans. per dipol magnètic,
radiació isòtropa o
molèc. en rotació

Molècules que passen de Φ_i a Φ_s en la unitat de temps : $N_i w_{si}^{abs} = N_i B_{si} u(\nu_{si})$

Quantum theory of radiation

- ▶ Stationary states do not evolve: $\Psi(x; t) = e^{-iE_i t/\hbar} \Phi_i(x)$

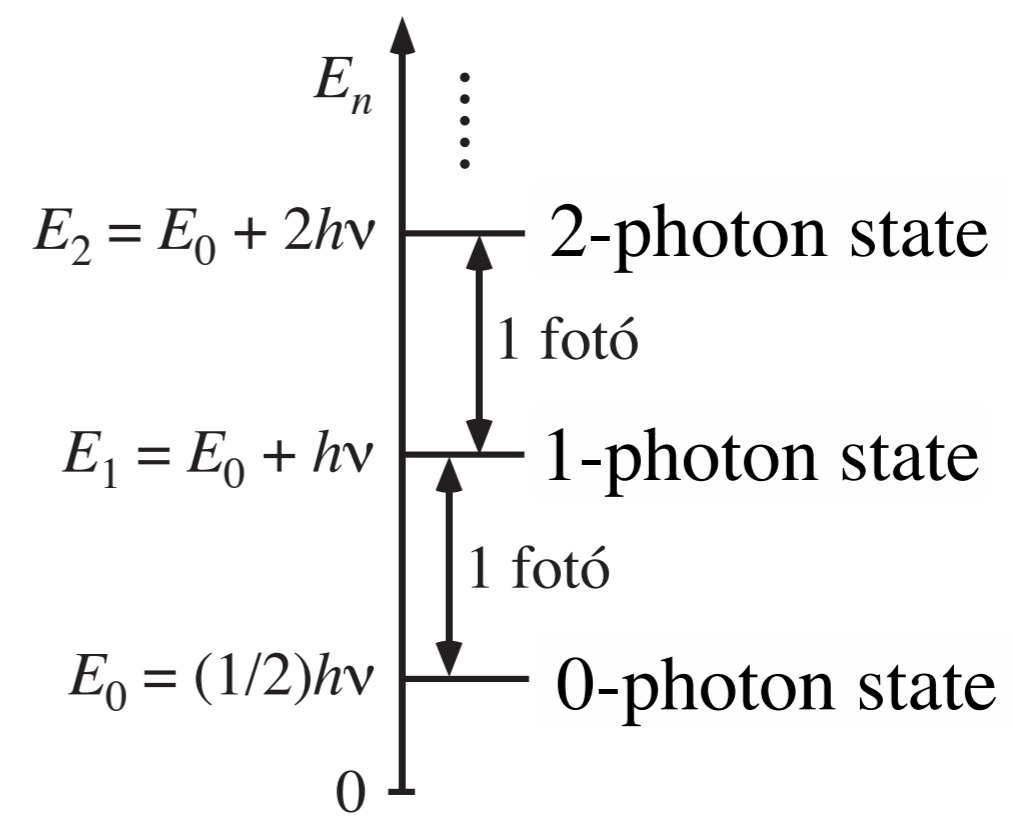
$$|\Psi(x; t)|^2 = \left(e^{-iE_i t/\hbar} \Phi_i(x) \right)^* \times \left(e^{-iE_i t/\hbar} \Phi_i(x) \right) = |\Phi_i(x)|^2$$

- ▶ Spontaneous emission?

- ▶ *quantum theory of radiation*

$$m_{phot,\nu} = \frac{E_{phot,\nu}}{c^2} = \frac{h\nu}{c^2} = \frac{p_{phot,\nu}}{c}$$

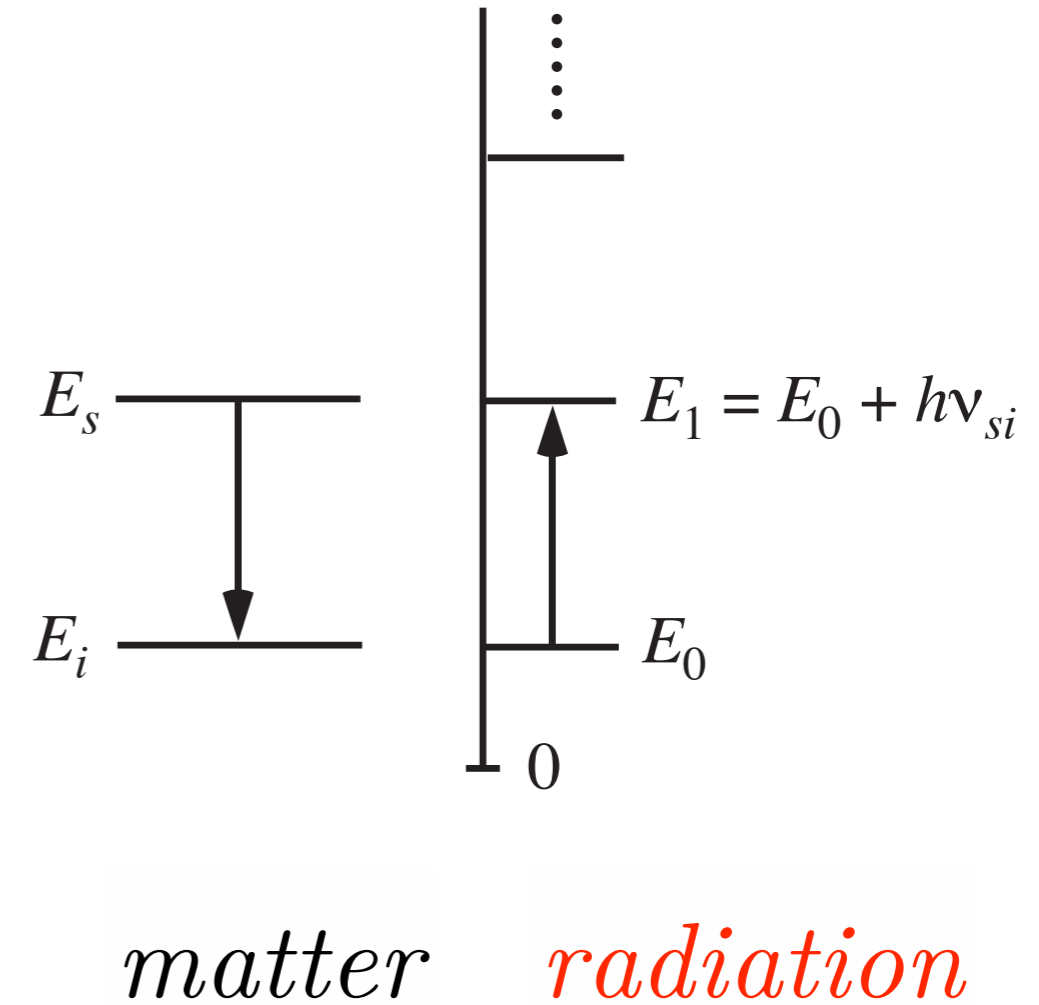
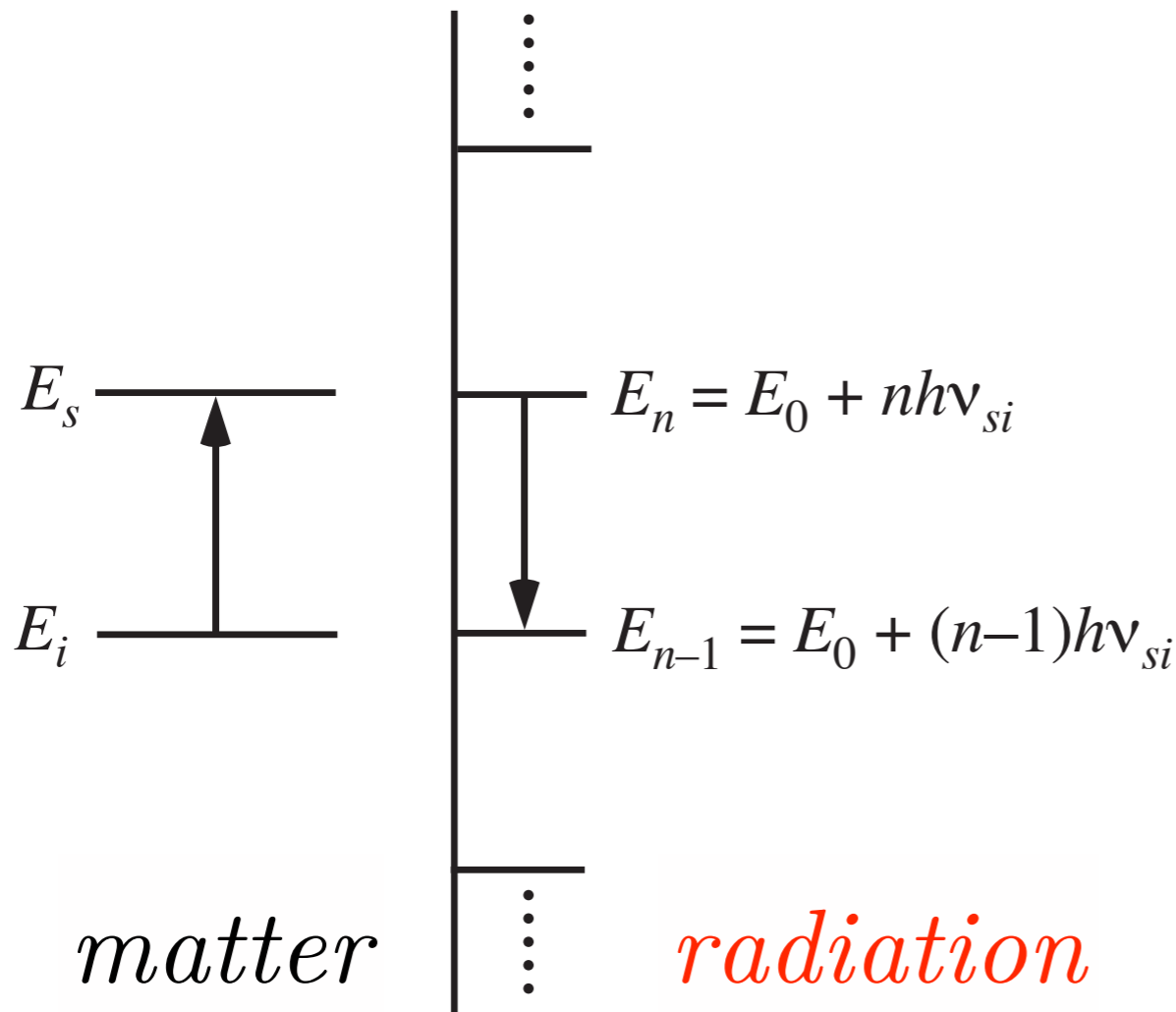
$$p_{phot,\nu} = \frac{h\nu}{c} = \frac{h}{\lambda}$$



Spontaneous emission

Absorption

Spontaneous emission



Spontaneous emission

$$A_{si} = \frac{8\pi^2 \nu_{si}^3}{3\hbar\epsilon_0 c^3} \left| \left\langle \Phi_s \left| \widehat{d} \Phi_i \right. \right\rangle \right|^2 \longleftarrow \text{same selection rules}$$

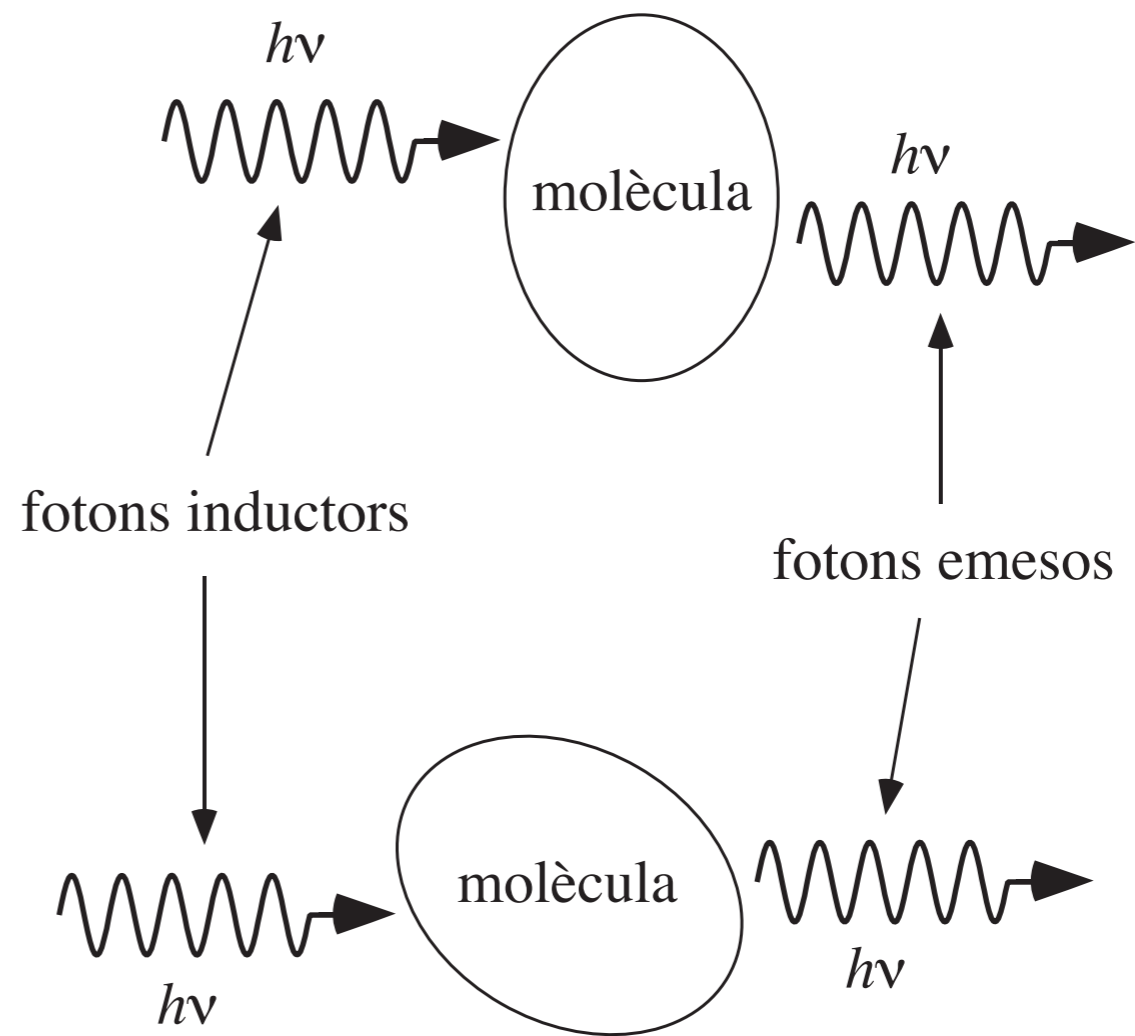
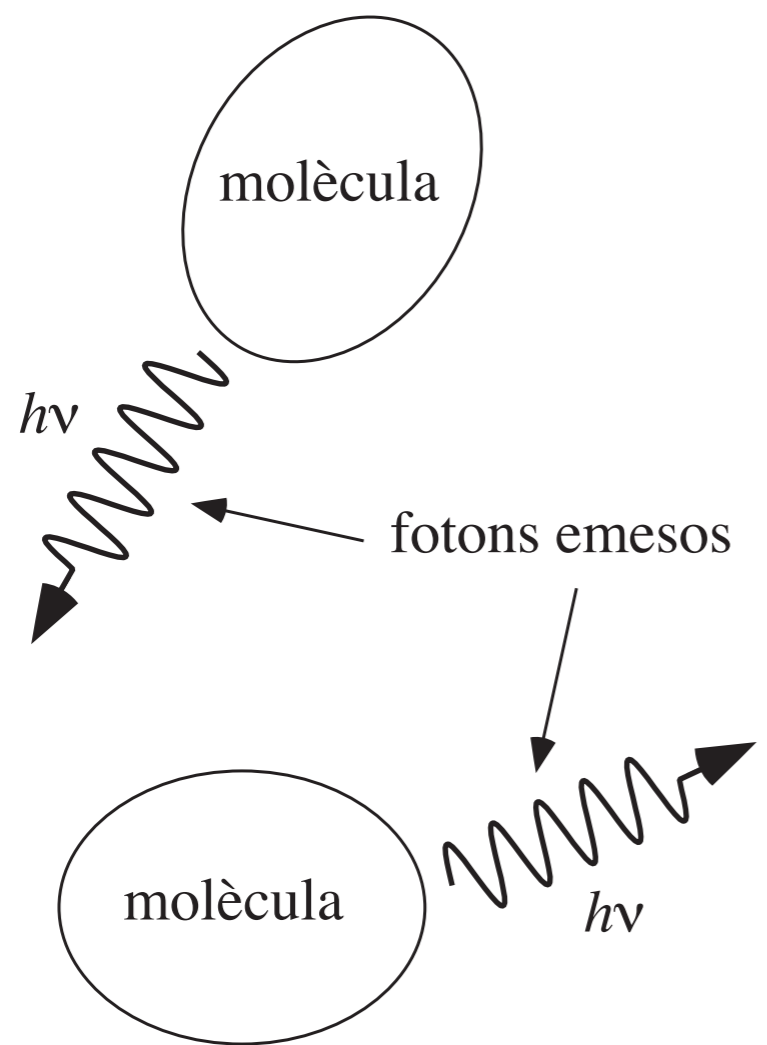
► If $u(\nu) = 0$

$$\frac{dN_s}{dt} = -N_s A_{si} \quad \rightarrow \quad N_s(t) = N_s(0) e^{-A_{si} t} \quad \rightarrow \quad \tau_{si} = \frac{1}{A_{si}}$$

Transition	$\left \left\langle \Phi_s \left \widehat{d} \Phi_i \right. \right\rangle \right / \text{Cm}$	ν_{si}	τ_{si}
$2p_z \rightarrow 1s$	$6,3 \times 10^{-30}$	2467 THz	10^{-9} s
$(2s)^2 S_{1/2} \rightarrow (2p)^2 P_{1/2}$	25×10^{-30}	1058 MHz	20 years

$/10^6$ $\times 10^{18}$

Emissió espontània vs induïda



LASER

Relaxation

therm. equil. $u(\nu_{si}) = 0$

$$N_{i,eq} R_{s←i} = N_{s,eq} (A_{si} + R_{s→i})$$

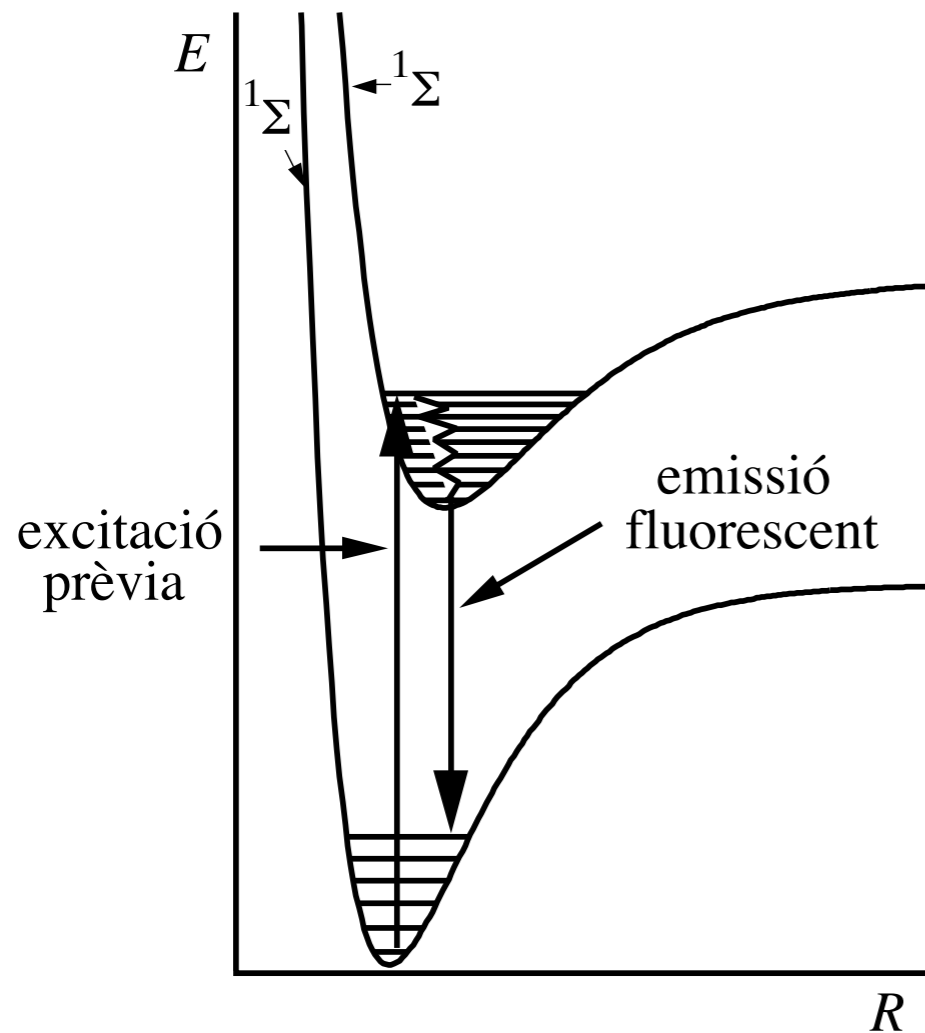
$$\frac{N_{s,eq}}{N_{i,eq}} = \frac{R_{s←i}}{A_{si} + R_{s→i}} = e^{-h\nu_{si}/k_B T}$$

Boltzmann law

ν_{si}	10^4 THz (UV)	500 THz (vis)	200 THz (NIR)	30 THz (MIR)	3 THz (FIR)	100 GHz (MW)	500 MHz (RF)
25°C	10^{-699}	10^{-35}	10^{-14}	10^{-2}	0,6	0,98	0,99992
-150°C	≈ 0	10^{-85}	10^{-34}	10^{-5}	0,3	0,96	0,99989

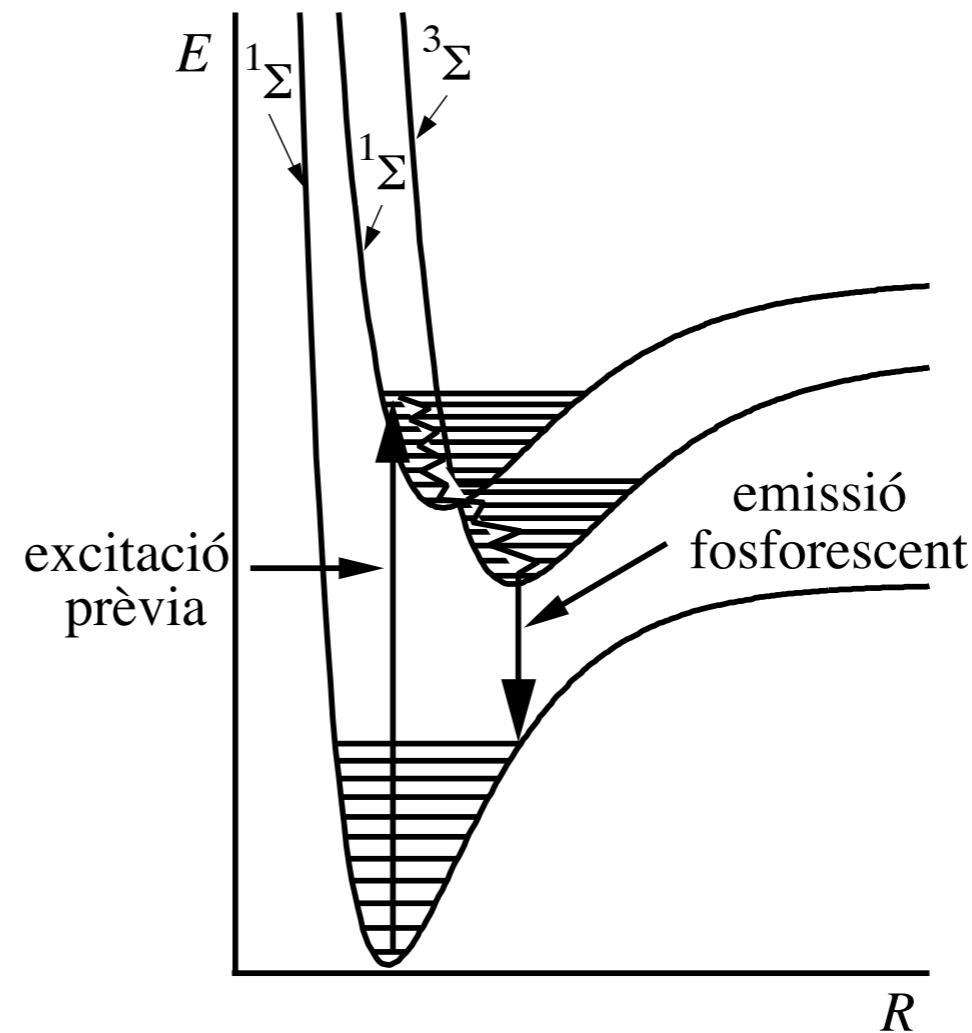
Fluorescència i fosforescència

Fluorescence



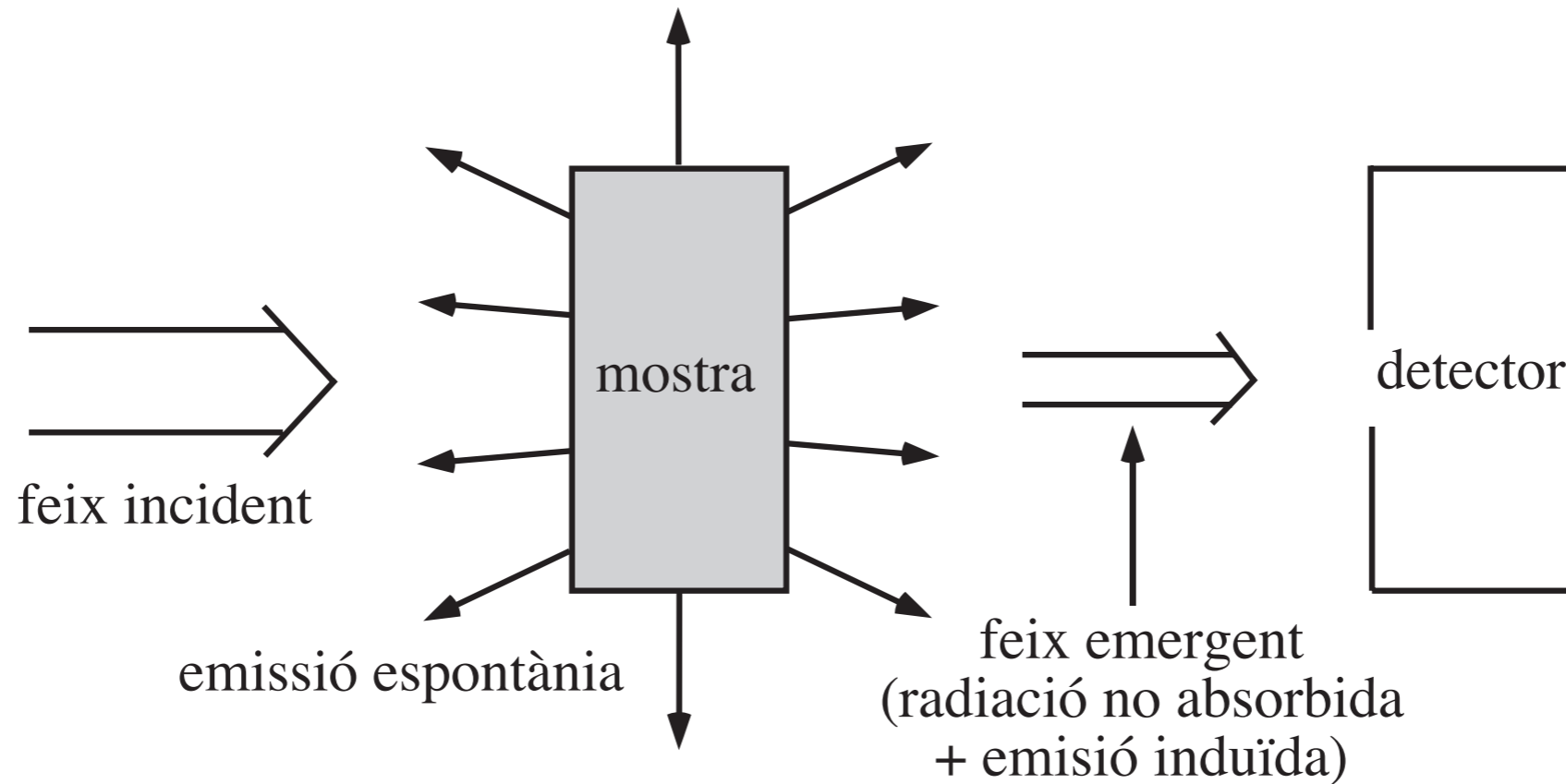
$$\tau < 10^{-5} \text{ s}$$

Phosphorescence




$$\tau > 10^{-3} \text{ s}$$

Absorbed energy



$$\begin{aligned}
 \frac{dE_{abs}}{dt} &= \overbrace{N_i B_{si} u(\nu_{si}) (E_s - E_i)} - \overbrace{N_s B_{si} u(\nu_{si}) (E_s - E_i)} \\
 &= (N_i - N_s) B_{si} u(\nu_{si}) h \nu_{si}
 \end{aligned}$$

High frequencies ($>$ FIR)

$$\frac{N_{s,eq}}{N_{i,eq}} = \frac{R_{s \leftarrow i}}{A_{si} + R_{s \rightarrow i}} = e^{-h\nu_{si}/k_B T} \ll 1 \quad \Rightarrow \quad A_{si} + R_{s \rightarrow i} \gg R_{s \leftarrow i}$$


- ▶ A small increment of N_s produced by absorption is quickly compensated by relaxation (spont. em. half live $< 10^{-2}$).
- ▶ $N_i \approx N_{i,eq} \approx N$

$$\frac{dE_{abs}}{dt} = (N_i - N_s) B_{si} u(\nu_{si}) h\nu_{si} \approx \textcircled{N} B_{si} u(\nu_{si}) h\nu_{si}$$

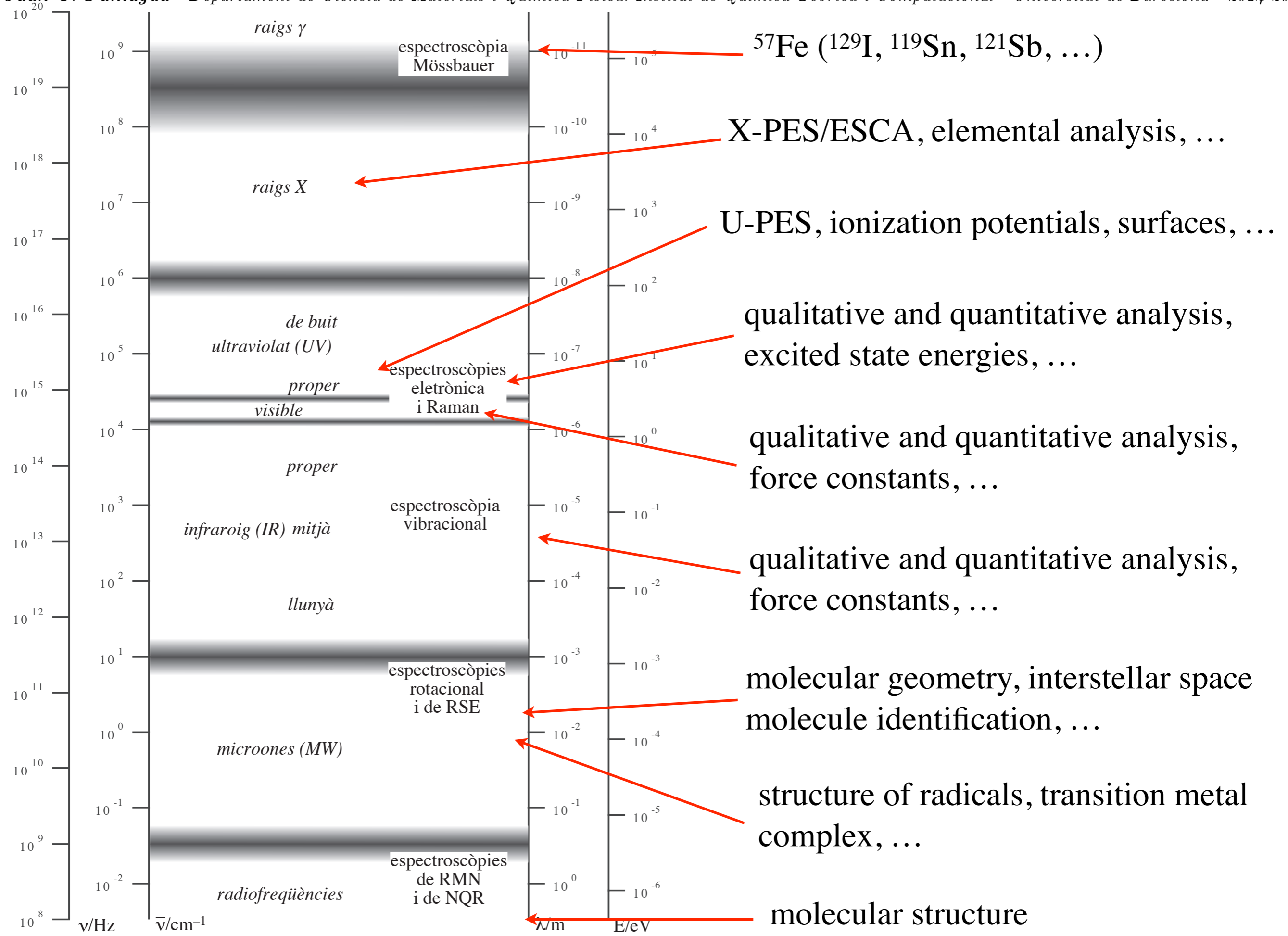
- ▶ Good **sensitivity**; good for *quantitative analysis* (simple relationship between N and absorption intensity); qualitative analysis, structural determination, material characterization, etc. (UV-vis, IR...)

Low frequencies ($< \text{FIR}$)

$$\frac{N_{s,eq}}{N_{i,eq}} = \frac{R_{s \leftarrow i}}{A_{si} + R_{s \rightarrow i}} = e^{-h\nu_{si}/k_B T} \approx 1 \quad \text{and} \quad A_{si} \approx 0$$

$$\frac{dE_{abs}}{dt} = (N_i - N_s) B_{si} u(\nu_{si}) h\nu_{si}$$

- ▶ $dE_{abs}/dt \propto (N_i - N_s) \ll N \Rightarrow$ low sensitivity.
- ▶ $(N_i - N_s)$ and dE_{abs}/dt decrease upon absorption (*saturation*) \Rightarrow
- ▶ quantitative analysis is not accurate and requires careful calibration of a standard
- ▶ good for qualitative analysis, structural determination, materials characterization, etc. (ESR, NMR, NQR, MW, ...)



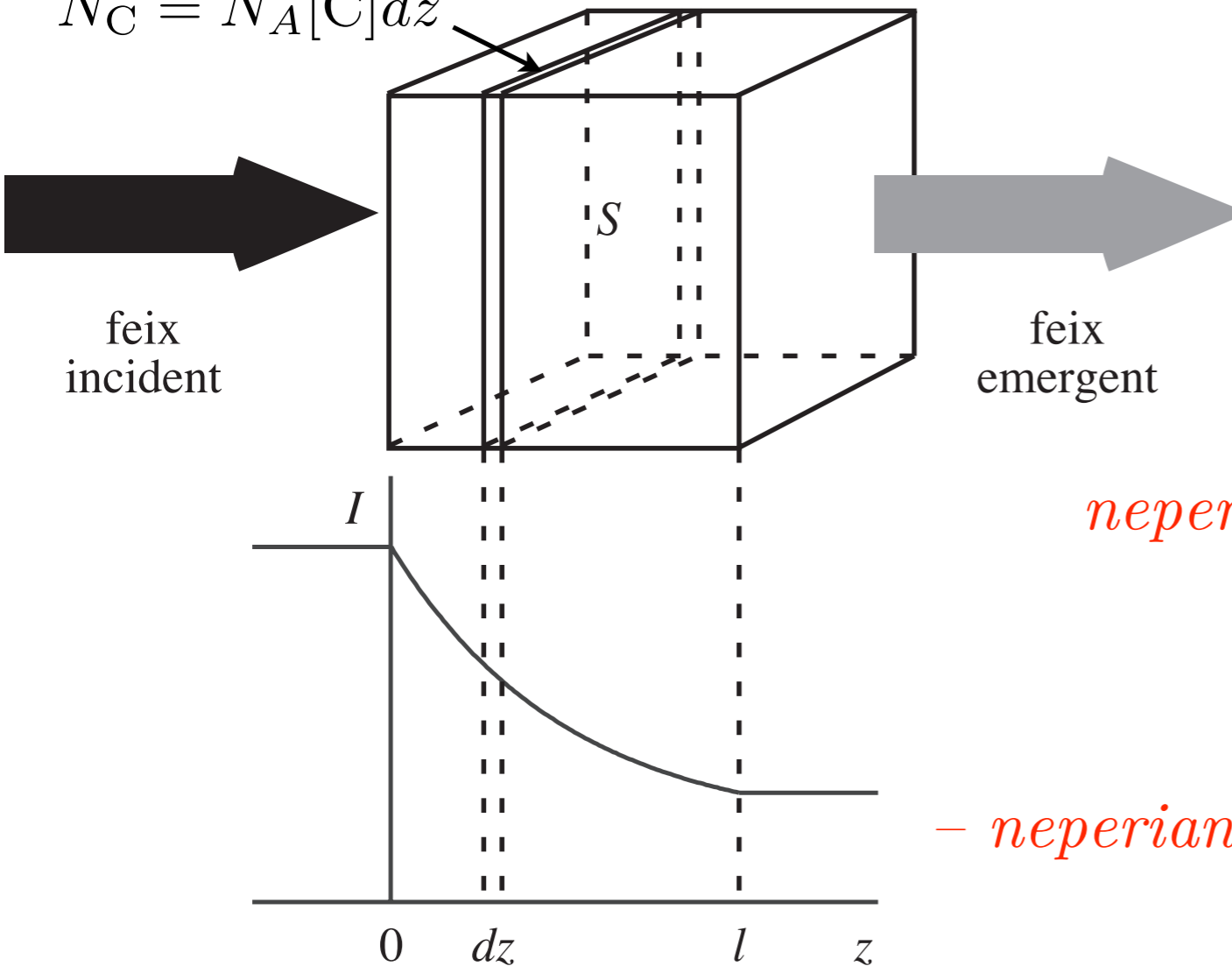
Lambert-Beer law

$$\frac{dE_{abs}}{dt} = \underbrace{(N_A[C]dz)}_{N_C} B_{si} u(\nu_{si}) h\nu_{si}$$

Radiant intensity (irradiance) of frequency ν :

$$I(\nu) = \frac{u(\nu)dz}{dz/c} = cu(\nu)$$

$$N_C = N_A[C]dz$$



$$\begin{aligned} dI(\nu_{si}) &= -(N_A[C]dz) B_{si} u(\nu_{si}) h\nu_{si} \\ &= -\frac{N_A B_{si} h\nu_{si}}{c} I(\nu_{si}) [C] dz \end{aligned}$$

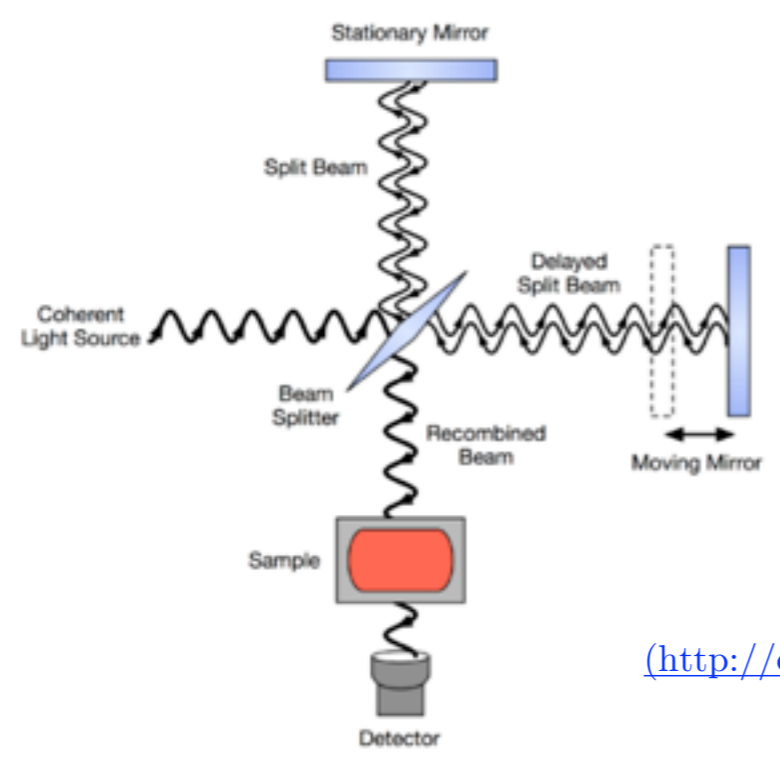
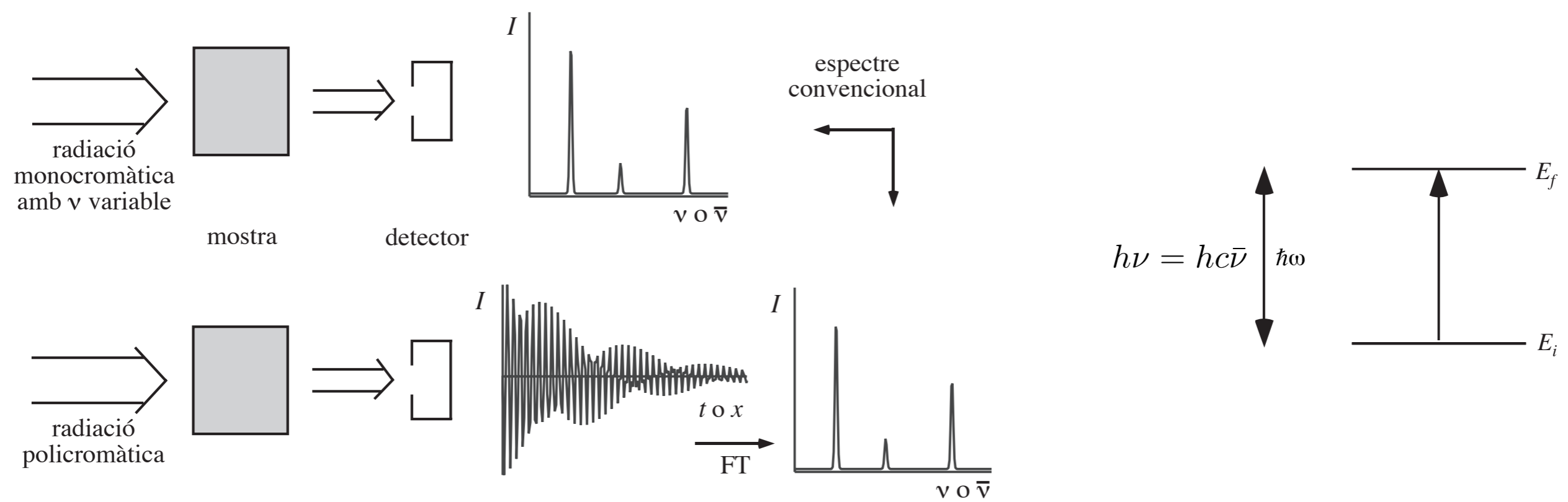
neperian molar absorption coefficient (κ_{si})

transmittance (T)

$$- \text{neperian absorbance } (-A_e) \ln \frac{I_l(\nu_{si})}{I_0(\nu_{si})} = -\kappa_{si} [C] l$$

$$I_l(\nu_{si}) = I_0(\nu_{si}) e^{-\kappa_{si} [C] l}$$

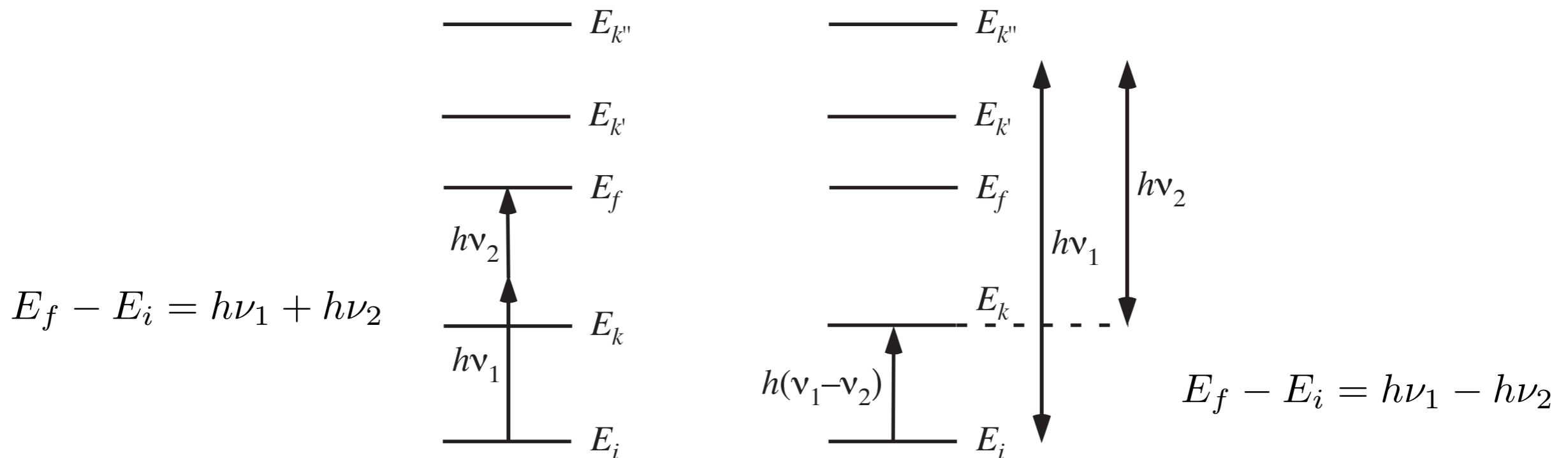
Scan vs Fourier transform



<http://en.wikipedia.org/wiki/User:Sanchonx>

Higher orders of TD perturb.

- ▶ *2nd order*: biphotonic processes (biphotonic absorption, biphotonic emission, Raman dispersion),



- ▶ *3rd order*: triphotonic processes (harmonic generation, ...),
- ▶ *4th order*: tetraphotonic processes (CARS & CSRS, ...)
- ▶ etc.